

Research Article

Evolution of ore- forming fluids in Dashkasan gold deposit, NE Qorveh, West of Iran, based on tourmaline chemical composition and fluid inclusion data

Mohammad Moradi ¹, Zahra Alaminia ²✉ Ebrahim Tale Fazel ³ , Mahin Mansouri Esfahani ⁴

¹ M.Sc., Department of Geology, University of Isfahan, Isfahan, Iran, mmoradi487@yahoo.com

² Associate Professor, Department of Geology, University of Isfahan, Isfahan, Iran, z.alaminia@sci.ui.ac.ir

³ Assistant Professor, Department of Geology, Faculty of Sciences, Bu- Ali Sina University, Hamedan, Iran, tale.fazel@gmail.com

⁴ Assistant Professor, Department of Mining Engineering, Isfahan University of Technology, Isfahan, Iran, mmmansouri_2001@yahoo.com

ARTICLE INFO

Received: 17 January 2022

Accepted: 31 May 2022

Keywords

Mineral Geochemistry
Fluid Inclusion
Tourmaline
Gold Deposit
Dashkasan



[10.1001.1.22285210.1402.14.2.1.8](https://doi.org/10.1001.1.22285210.1402.14.2.1.8)

[10.22108/ijp.2022.132378.1265](https://doi.org/10.22108/ijp.2022.132378.1265)

EXTENDED ABSTRACT**Introduction**

Tourmaline is a borosilicate mineral with general formula of $XY_2Z_6[T_6O_{18}](BO_3)_3V_3W$. Experimental studies demonstrate a wide range of stability for tourmaline-supergroup minerals to record different geological processes. They occur in metamorphic, granitic pegmatites, and clastic sedimentary rocks and are associated with hydrothermal activities (Dutrow and Henry, 2011; Slack and Trumbull, 2011). Textural and compositional features of tourmaline can be used as an indicator of environment in which it crystallized. Tourmaline from porphyry deposits generally show a. frequently crystal zoning, b. development from Fe-rich to Mg-rich, and c. total Mg content is ~2 apfu in copper deposits and 1-2 apfu in Au deposits (Baksheev et al., 2012). It is believed that the world-class Dashkasan gold deposit records the transformation of porphyry to low-sulfide epithermal (Richards et al., 2006). The Dashkasan gold deposit located in the Kurdistan Province can be a significant region for better understanding the origin and the evolution of ore-forming fluids using chemistry of tourmaline. For the present study, we also tried to apply fluid inclusions data on quartz-tourmaline-pyrite veins from the Dashkasan deposit.

Materials and Methods

Polished-thin sections of various tourmalines of the Dashkasan deposit were examined using a Cameca

SX100 Electron Probe Micro Analysis (EPMA) at the Iran Mineral Processing Research Center, Karaj. Fluid inclusion studies were performed on quartz crystals of

Corresponding Author

To cite this article: Moradi, M., Alaminia, Z., Tale Fazel, E., Mansouri Esfahani, M. (2023) Evolution of the ore- forming fluids in the Dashkasan gold deposit, NE Qorveh, West of Iran, based on tourmaline chemical composition and fluid inclusion data. Petrological Journal, 14(2), 31-58.

quartz-tourmaline-pyrite veins. The microthermometric parameters of fluid inclusions were measured by Linkam-THMS-600 stage at the University of Isfahan.

Results and Discussion

The Dashkasan gold deposit with 52 Mt of oxidized ore and average grades of 1.77 g/t Au is hosted by the Middle-Miocene porphyritic dacite/rhyodacite and dacitic breccia rocks. The main minerals are quartz, K-feldspar, hornblende and biotite mainly altered.. This deposit is characterized by the transition from the porphyry to the epidermal system with the presence of tourmaline minerals in phyllitic and silicification alteration associated with gold veins. As petrographic examination shows tourmaline occurs as disseminated, vein/veinlet, and breccia textures in three types: Tur-1 occurred as needle shape in dacitic rocks associated with phyllitic alteration; Tur-2 crystallized as radial shape mainly coexisting with silicification; and Tur-3 with elongated shape is present in dacitic breccia with phyllitic alteration.

Mineral Chemistry

The geochemical composition of three types tourmalines points to the nature and the evolution of ore-forming fluids. Electron microprobe analyses of the studied tourmalines indicate that the Tur-1 and Tur-3 are dravite, and the Tur-2 is dravite to schorl in composition and they belong to alkaline group. The third type, unlike the other two, is characterized by poor zoning and higher values of Na, K, Fe, Mg and lower values of Ca. On $\text{Fe}_{\text{tot}}\text{-Ca-Mg}$ ternary diagram, they plotted in the Ca-poor metapelites, metapsammites, and quartz-tourmaline rocks host. Magmatic genesis inferred from the higher $\text{Fe}/(\text{Fe}+\text{Mg})$ ratio for Tur-1 and Tur-2, while this ratio in the Tur-3 is different and shifted towards hydrothermal source.

Microthermometric Study

Richards et al. (2006) present the fluid inclusion assemblages from quartz-tourmaline veins in sericitized wall rocks in the Dashkasan deposit consisting of hypersaline and rare vapor-rich inclusion. They have homogenization temperatures of 246° to 360 °C, yielding salinities of 34.4 to 46.1 wt% NaCl equiv. (Richards et al., 2006). Fluids inclusions studies on quartz-tourmaline-pyrite veins related to transition between stage-1 and stage-2 of mineralization in the Dashkasan shows a salinity values from 15.9 to 16.8

wt% NaCl equiv. and homogenization temperature values between 185° to 254 °C.

Conclusions

On the basis of optical and scanning electron microscopy, three tourmaline types(Turs -1,-2 and -3) in the Dashkasan deposit, can be distinguished. Despite the lack of zoning in Tur-1 and Tur-2, the third type displays the poor zoning. The first-and the third-types of tourmalines are dravite (Mg-rich), whereas the second-type is dravite to schorl in composition. Magmatic genesis is reflected by higher $\Sigma(\text{Fe}+\text{Mg})$ and $\text{FeO}/(\text{MgO}+\text{FeO})$ ratios for the first two types. While these ratios in the Tur-3 is different and shifted toward hydrothermal source. To sum up, the occurrence of quartz-tourmaline-pyrite veins in the Dashkasan deposit is due to the existence of a fault system under the physicochemical performance of the ore-mineralized fluid by a sudden depressurization and probably gradual mixing with shallow water.

Acknowledgments

We thank Dr. Gholizadeh and Dr. Shabaniān for their assistance with experiments for EPMA. This study was financially supported by the University of Isfahan.

تحول سیال‌های کانه‌ساز در کانسار طلای داشکسن، شمال خاوری قزوین، باختر

ایران، برپایه ترکیب شیمیایی تورمالین و داده‌های سیال‌های درگیر

محمد مرادی^۱، زهرا اعلمی‌نیا^۲

ابراهیم طالع‌فضل^۳، مهین منصوری‌اصفهانی^۴

^۱ کارشناسی ارشد، گروه زمین‌شناسی، دانشگاه اصفهان، اصفهان، ایران، mmoradi487@yahoo.com

^۲ دانشیار، گروه زمین‌شناسی، دانشگاه اصفهان، اصفهان، ایران، alaminia_geo@yahoo.com

^۳ استادیار، گروه زمین‌شناسی، دانشکده علوم، دانشگاه بولوی سینا، همدان، ایران، e.talefazel@basu.ac.ir

^۴ استادیار، دانشکده مهندسی معدن، دانشگاه صنعتی اصفهان، اصفهان، ایران، mansoori@iut.ac.ir

چکیده

اطلاعات مقاله

کانسار طلای داشکسن با ذخیره اکسیدی ۵۲ میلیون تن و میانگین عیار ۱/۷۷ گرم بر تن طلا در میزبان داسیت/ریوداسیت پورفیری و برش‌های داسیتی میوسن میانی، در باختر ایران تشکیل شده است. کوارتز، فلدسپار، هورنبلند و بیوتیت از کانی‌های اصلی آن هستند و در بیشتر بخش‌ها دگرسان شده‌اند. این کانسار با گذار از سامانه پورفیری به اپی‌ترمال با حضور تورمالین در دگرسانی‌های فیلیک و سیلیسی، همراه با رگه‌های طلادر شناخته می‌شود. تورمالین در کانسار داشکسن با بافت‌های افshan، رگه‌گچه و برشی رخ داده است و در بررسی‌های سنگنگاری به شکل‌های سوزنی (نوع اول)، شعاعی (نوع دوم) و تیغه‌ای کشیده (نوع سوم) دیده می‌شود. ترکیب شیمیایی سه نوع تورمالین روی نمودارهای مختلف نشان می‌دهد تورمالین‌ها می‌توانند نماینده ماهیت و تحولات سیال کانه‌ساز باشند. برپایه تجزیه‌های ریزکاو الکترونی، تورمالین‌های نوع اول و سوم ترکیب دراویت و نوع دوم دراویت مایل به شورل دارند و هر سه نوع در گروه قلیایی دسته‌بندی می‌شوند. تورمالین‌های نوع سوم برخلاف تورمالین‌های دو نوع دیگر، منطقه‌بندی ضعیفی نشان می‌دهند و مقدارهای بالاتری از عنصرهای K, Na, Mg و مقادیر کمتری از Ca دارند. روی نمودار سه‌تایی Fe_{tot}-Ca-Mg در جایگاه متاپسیمات و متاپلیت‌های فقیر از کلسیم و سنگ‌های کوارتز-تورمالینی جای می‌گیرند. نسبت بالاتر (Fe/(Fe+Mg) در انواع یک و دو نشان‌دهنده خاستگاه ماقمایی-گرمایی آنهاست؛ اما این نسبت در تورمالین‌های نوع سوم متفاوت است و به شرایط گرمایی گرایش دارد. بررسی‌های سیال‌های درگیر روی رگه‌های کوارتز-تورمالین-پیریت، گویای شوری از ۱۵/۹ تا ۱۶/۸ درصد شونزی معادل نمک طعام و دمای همگن شدن از ۱۸۵ تا ۲۵۴ درجه سانتیگراد است. شواهد این پژوهش نشان می‌دهد رگه کوارتز-تورمالین-پیریت در کانسار داشکسن مؤثر از وجود سامانه‌ای گسلی و در پی تغییرات فیزیکوشیمیایی سیال کانه‌ساز در شرایط فشارزدایی و احتمالاً ترکیب با آبهای جوی کم ژرفا پدید آمده است.

کلید واژه‌ها

شیمی کانی

سیال‌های درگیر

تورمالین

کانسار طلا

داشکسن



20.1001.1.22285210.1402.14.2.1.8

10.22108/ijp.2022.132378.1265



نویسنده مسئول

استاد به این مقاله: مرادی، م.، اعلمی‌نیا، ز.، طالع‌فضل، ا.، منصوری‌اصفهانی، م. (۱۴۰۲) تحول سیال‌های کانه‌ساز در کانسار طلای داشکسن، شمال خاوری قزوین، باختر ایران، برپایه ترکیب شیمیایی تورمالین و داده‌های سیال‌های درگیر. پترولوجی، ۱۴(۲)، ۵۸-۳۱.



نوع دراویت و شورل هستند. تورمالین‌های درون سنگ‌های دگرگونه و دگرنهاد معمولاً منطقه‌بندی نوسانی و ترکیب هیریدی دارند که نشان‌دهنده *Van* سنگ میزبان و فاز سیال بوردار آنهاست (Hinsberg et al., 2011؛ اما تورمالین‌های ماقمایی به‌علت پیدایش در سیستمی بسته معمولاً بافتی London and یکنواخت و بدون منطقه‌بندی دارند (Manning, 1995). بیشتر رگه‌های تورمالین با انواع فرایندهای گرمابی همراه هستند. این فرایندها شامل انواع رگه‌های مرتبط با سنگ‌های گرانیت‌وییدی، گرایزن، جانشینی، اسکارن، تنوره‌های برشی و ذخیره‌های مس-مولیبدن-طلای پورفیری که خاستگاه عنصرهای اقتصادی Cu, Mo, Au و W هستند (Raith et al., 2004). از این‌رو، شناسایی تورمالین‌های گوناگون اطلاعات ارزشمندی درباره خاستگاه، ماهیت و تکامل سیال گرمابی کانه‌ساز ارائه می‌دهد (Slack and Trumbull, 2011).

مقدمه

تورمالین به‌علت پایداری در بازه گسترده‌ای از دما با بیشینه ۷۰۰ تا ۹۰۰ درجه سانتیگراد و فشار با بیشینه ۶ گیگاپاسکال (Krosse, 1995؛ Ota et al., 2008؛ van Hinsberg et al., 2011) در محیط‌های گوناگون زمین‌شناسی دیده می‌شود. با توجه به واکنش‌های جانشینی متفاوت، تنوع ترکیب شیمیایی و ماهیت ساختاری منحصر به‌فرد تورمالین سبب شده است که این کانی به‌عنوان شاخص Slack et al., (1984) شیمی این کانی سیلیکاته بُردار پیچیده و فرمول پایه آن $XY_3Z_6(T_6O_{18})(BO_3)_3V_3W$ است (Hawthorne and Henry, 1999). در این میان، سه عضو پایانی اصلی با نام‌های شورل غنی از آهن، دراویت غنی از منیزیم و الیت غنی از لیتیم وجود دارد (Henry et al., 2011). بیشتر تورمالین‌ها در سنگ‌های آذرین فلزیک و اسیدی غنی از سدیم با مقدار متوسطی از آهن و منیزیم و از

جدول ۱. برخی گونه‌های تورمالین برای شناسایی ویژگی‌های سیال (Dutrow and Henry, 2018)

Table 1. Some tourmaline species for determining fluid characteristics (Dutrow and Henry, 2018).

Species	(X)	(Y3)	(Z6)	T_6O_{18}	$(BO_3)_3$	$(V)_3$	(W)
Alkali group							
Schorl	Na	Fe^{2+}	Al_6	Si_6O_{18}	$(BO_3)_3$	$(OH)_3$	OH
Dravite	Na	Mg_3	Al_6	Si_6O_{18}	$(BO_3)_3$	$(OH)_3$	OH
Oxy- dravite	Na	Al_2Mg	Al_5Mg	Si_6O_{18}	$(BO_3)_3$	$(OH)_3$	O
Elbaite	Na	$Li_{1.5}Al_{1.5}$	Al_6	Si_6O_{18}	$(BO_3)_3$	$(OH)_3$	OH
Povondraite	Na	Fe^{3+}	Fe^{3+}_3	Si_6O_{18}	$(BO_3)_3$	$(OH)_3$	O
Calcic group							
Liddicoatite	Ca	Li_2Al	Al_6	Si_6O_{18}	$(BO_3)_3$	$(OH)_3$	OH
X- site vacant group							
Magnesio- foitite	□*	Mg_2Al	Al_6	Si_6O_{18}	$(BO_3)_3$	$(OH)_3$	OH

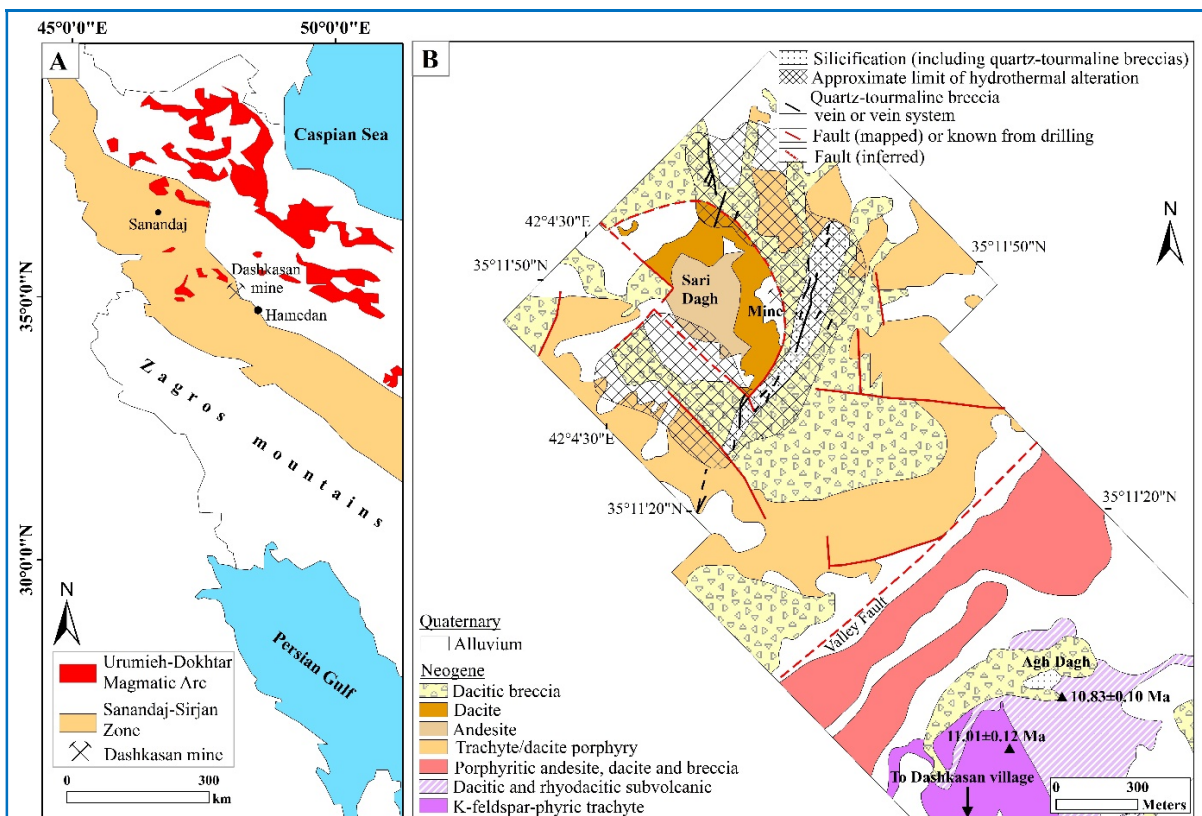
* X- site vacancy (□)

ژنتیکی نزدیکی داشته باشند (Sillitoe, 2010؛ Waters et al., 2011). از کانسارهای پورفیری-اپی‌ترمال در جهان

کانسارهای پورفیری با سامانه‌های اپی‌ترمال که در نزدیکی یا بخش بالای ذخایر پورفیری جای گرفته‌اند می‌توانند ارتباط

(ساری‌گونای) (Richards et al., 2006) و مس-طلای چوران (Zaravandi et al., 2021) را نام برد. کانسار طلای داشکسن در شمال باخته ایران، شمال خاوری شهرستان قزوین در استان کردستان، در فاصله پهنه‌های ساختاری ارومیه-دخترو سنندج-سیرجان جای دارد (شکل ۱-۱).

می‌توان کانسارهای مس-طلای-مولیبدن جیانگچی شرق چین (Mao et al., 2011)، پلی‌متال آکوآریکای آرژانتین (Franchini et al., 2011) و طلای کوپلر ترکیه (Maydagán et al., 2013) و در ایران کانسارهای طلای داشکسن (al., 2016)



شکل ۱. (A) نقشه ساختاری شمال باخته ایران و جایگاه کانسار داشکسن میان پهنه‌های ماگمایی ارومیه-دخترو و پهنه‌سنندج-سیرجان (اصلاح شده پس از مجلل و همکاران (B) (Mohajjel et al., 2003)). (Richards et al., 2006) (اصلاح شده از شرکت معدنی زرکوه (Richards et al., 2006))

Figure 1. A) Structural map of northwest Iran and position of Dashkasan deposit between UDMA and Sanandaj- Sirjan zone (modified after Mohajjel et al. (2003)); **B)** Geologic map of the Dashkasan gold deposit (modified after Zarkuh mining company (Richards et al., 2006)).

فیلیک و سیلیسی سامانه پورفیری و همراه با رگه‌های طلادر سامانه اپی‌ترمال یافت می‌شود. این کانسار به علت ویژگی‌های زمین‌شناسی و کانی‌زایی همواره مورد توجه زمین‌شناسان بوده است و تا کنون بررسی‌های گوناگونی روی آن انجام شده است. از میان این بررسی‌ها می‌توان بررسی کانی‌شناسی و خاستگاه ذخیره (Rastad et al., 2000)، تیپ کانی‌زایی و سن‌سنجی (Richards et al., 2006)، دورستنجی

پهنه‌طلادر با درازای میانگین ۱۲۰۰ متر و پهنه‌ میانگین ۳۵۰ متر با راستای شمال خاوری-جنوب باخته (N33E)، ذخیره اکسیدی بالغ بر ۵۲ میلیون تن با عیار میانگین ۱/۷۷ گرم بر تن طلاست (Richards et al., 2006). کانسار طلای داشکسن گذری از سامانه پورفیری به Richards et al., 2006; Alaminia et al., 2018) گرمایی است و در آن کانی تورمالین بدفراوانی در دگرسانی‌های

الکترونی (EPMA^۱) مدل SX100 ساخت شرکت Cameca فرانسه، ولتاژ شتابدهنده ۱۵kV و شدت جریان nA ۲۰ در آزمایشگاه کانی‌شناسی مرکز تحقیقات فرآوری مواد معدنی ایران (کرج) انجام شد. در آزمایشگاه، پیش از تابش الکترونی، مقاطع با لایه نازکی از کربن به ضخامت تقریبی ۵۰ آنگستروم پوشش داده شدند. قطر پرتوی تابشی بین ۲ تا ۵ میکرون و آستانه آشکارسازی دستگاه برای عنصرهای مختلف از ۱۰۰ پی‌پی ام کمتر بود. داده‌های به دست آمده از این تجزیه با نرم‌افزار PAP تصحیح شدند. محاسبه فرمول ساختاری کانی تورمالین بر پایه آنیون (OH⁻) با Wintourclass به روش استوکیومتری انجام شده است. بر پایه روش پیشنهادی یاوز و همکاران (Yavuz et al., 2014)، میزان بور ۳ اتم در هر واحد فرمولی فرض شد.

همچنین، شمار ۴ مقطع دوبر صیقل با ضخامت متوسط ۱۳۰ میکرون، برای بررسی میان‌بارهای سیال در کانی کوارتز همراه با رگه‌های کوارتز-تورمالین-پیریت، تهیه شد. میان‌بارهای سیال با دستگاه لینکام مدل THM600 دارای کنترل کننده حرارتی TMS92 و سردکننده LNP در آزمایشگاه سیال‌های درگیر دانشگاه اصفهان بررسی شدند. بازه دمایی ۱۷۰-تا ۶۰۰ درجه سانتیگراد و دقت دستگاه ± 1 درجه سانتیگراد است.

نام اختصاری کانی‌ها از ویتنی و اوونس (Whitney and Evans, 2010) برگرفته شده است.

زمین‌شناسی کانسار

از دید برخی زمین‌شناسان کانسار طلای داشکسن در پهنه دگرگونی-ماگمایی سنتندج-سیرجان (Rastad et al., 2000; Maanijou et al., 2013) و به باور ریچاردز و همکاران (Richards et al., 2006) در پهنه ماگمایی ارومیه-دختر جای Richards, 2015 در گرفته است. محدوده بررسی شده در فاصله میان سه روستای داشکسن، نی‌بند و بهارلو جای دارد. آهک‌های تریاس، اسلیت، فیلیت، کوارتزیت و دولومیت‌های ژوراسیک کهن‌ترین واحدهای سنگی هستند که برونزدهای محدودی از آنها در میان مناطق نی‌بند و بهارلو دیده می‌شوند

(Felegari, 2014; Maanijou et al., 2014) سنگ کل (Granian et al., 2016) و تعیین خاستگاه و بررسی کانسنسنگ‌های سولفیدی و اکسیدی (Moradi, 2018; Moradi et al., 2019) را نام برد.

در ایران پژوهش‌های بسیاری روی کانی تورمالین‌با Esmaeily طیف‌های مختلف سنگی انجام شده است (et al., 2009; Karimpour and Stern, 2010; Mirsepahvand et al., 2012; Mansouri Esfahani and Khalili, 2014; Rasekh et al., 2016; Ahmadi Khalaji et al., 2016; Moazzen et al., 2017; Mansouri Esfahani and Bakhshi, 2018; Zall et al., 2019; Jamshidibadr et al., 2021) اما تا کنون بررسی‌های دقیقی روی ویژگی‌های تورمالین‌ها در کانسنسهای پورفیری-اپی‌ترمال انجام نشده است. در این پژوهش تلاش شد ویژگی‌های کانی‌شناسی و ترکیب شیمیایی تورمالین‌های مرتبط با کانسنس پورفیری-اپی‌ترمال داشکسن، با بهره‌کارگیری تصویرهای میکروسکوپ الکترونی روبشی و فناوری ریزکاو الکترونی، بررسی و مقایسه شود. پس از انجام نسل‌بندی رگه‌های مختلف کانه‌دار، از بررسی‌های سیال‌های درگیر کوارتز رگه‌های تورمالین‌دار، برای تعیین شرایط PTX (فسغار-دما-ترکیب) سیال کانه‌ساز طلا استفاده شد.

روش انجام پژوهش

پس از بررسی‌های صحرایی و انتخاب محل‌های مناسب، شمار ۱۵ نمونه سنگی برای بررسی‌های میکروسکوپی و بررسی شیمی تورمالین و خاستگاه آن برداشت شد. مقاطع با میکروسکوپ نوری دومناظر BX60F5 Olympus مدل BX60F5 بررسی شدند. سه نوع کانی تورمالین در بررسی‌های سنگنگاری مقاطع نازک-صیقلی شناسایی شدند. شمار ۲۵ نقطه از تورمالین‌های مرتبط با دگرسانی‌های سامانه پورفیری و شمار ۱۱ نقطه از تورمالین‌های رگه‌های برشی مرتبط با سامانه گرمابی، روی شش نمونه مقاطع نازک-صیقلی انتخاب و نشانه‌گذاری شدند.

بررسی شیمی تورمالین‌ها با فناوری تجزیه ریزکاو

و برپایه بررسی‌های میکروسکوپی، به دو صورت جانشینی کانی‌های اولیه سنگ و نهشت در فضاهای خالی و شکستگی‌ها رخ داده است. پنهانه‌های فیلیک (مجموعه سریسیت-کوارتز-پیریت)، سیلیسی (مجموعه کوارتز+پیریت) و تورمالینی (مجموعه تورمالین+کوارتز) مهم‌ترین دگرسانی‌هایی هستند که تورمالین در آنها یافت می‌شود. کوارتز فراوان‌ترین کانی دگرسانی در سنگ دیواره است که در زمینه و یا به صورت رگچه دیده می‌شود و گاه تا بیش از ۵۰ درصد حجمی کانسنگ طلا را دربر گرفته است. سریسیت‌ها نیز فراوان هستند و به سه صورت ریزبلور در زمینه، درشت بلور و شعاعی یافت می‌شوند (Moradi et al., 2019). دگرسانی‌های فیلیک و سیلیسی در واحد داسیت/ریوداسیت پورفیری و دگرسانی‌های فیلیک و تورمالینی با گسترش کمتر در واحد برشی رخ داده‌اند. درون قطعات داسیتی برش گرمایی، کانی‌های سریسیت، کوارتز، پیریت‌های دوده‌ای و مواد آلی (Richards et al., 2006) که بیشتر به صورت پراکنده هستند دیده می‌شوند. دگرسانی پروپیلیتیک (مجموعه کلریت ± اپیدوت ± کلسیت) در واحد آندزیتی کمترین شدت دگرسانی را نشان می‌دهد. پهنۀ آرژیلیک رخمنون‌های فراوان و پراکنده‌ای دارد. بررسی پراش پرتوی ایکس نشان‌دهنده حضور کانی‌های ایلیت، کاثولینیت، مونتموریونیت، مسکوویت (از نوع سریسیت، آلونیت، زئولیت (هیولاندیت، لامونیت)، کوارتز، ژاروسیت، و گوتیت در این پهنۀ است (Rastad et al., 2000; Maanijou et al., 2014; Moradi, 2018). همراهی لامونیت و هیولاندیت با رس‌ها، بیشتر در سامانه‌های زمین‌گرمایی دما بالا دیده می‌شود؛ اما حضور اکسیدهای آهن پیامد تأثیر دگرسانی بروزداد دانسته می‌شود (Richards et al., 2006).

در معدن داشکسن، ذرات نامری طلا به صورت محلول جامد در شبکه سولفید (پیریت‌های آرسنیکدار ریزدانه و کمتر آرسنوبیریت) و بهمندرت دانه‌های مربی طلا در کوارتز حفره‌دار تأخیری در همراهی با کانی‌های آنتیموان و آرسنیکدار دیده می‌شوند (Richards et al., 2006). برپایه شواهد صحرایی و میکروسکوپی، کانی‌سازی سولفیدی و طلا با دماسنجی‌های افshan (۲۰ درصد حجم ذخیره)، برشی (۳۰ درصد حجم ذخیره)، و رگه-رگچه‌ای یا فضا پرکن (۵۰ درصد حجم ذخیره)،

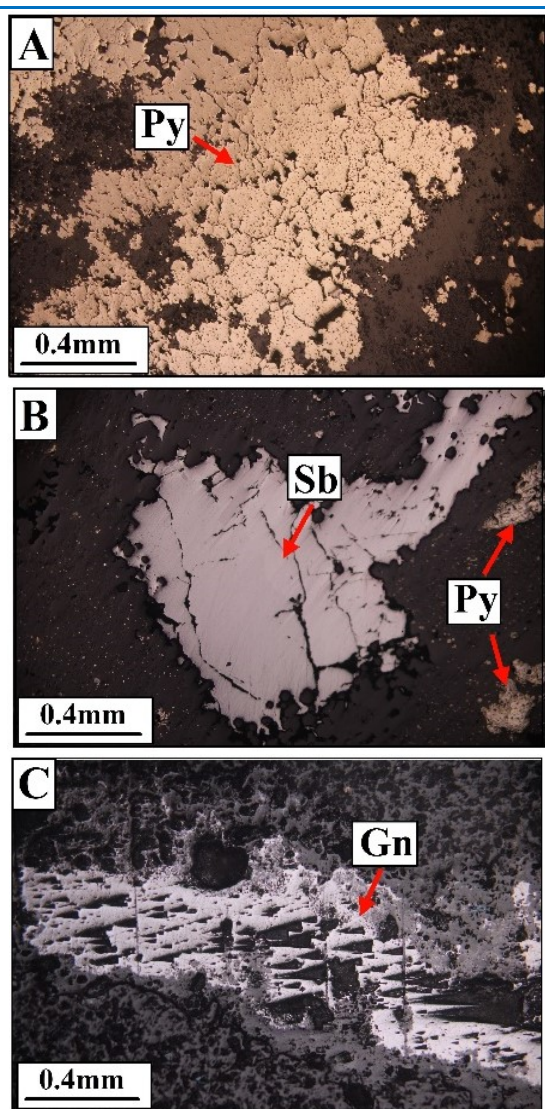
(Rastad et al., 2000; Khan Nazer et al., 2015) کوههای گنبدی ساری‌داغ و آق‌داغ دو مخروط آتشفشاری با ترکیب داسیت-آندزیت و سن میوسن میانی هستند که مورفولوژی اصلی منطقه را شکل داده‌اند. کانسار طلای داشکسن در گند باری داغ (ساری‌گونای) جای گرفته است و برپایه بازدید صحرایی، گستردگی‌ترین واحدهای سنگی در منطقه معدنی به ترتیب شامل داسیت/ریوداسیت‌های پورفیری با سن ۱۱ میلیون سال پیش که از شمال خاوری تا مرکز پیشکار استخراجی را در بر گرفته‌اند، برش‌های گرمایی که بیشتر در بخش‌های جنوب و جنوب‌خاوری دیده می‌شوند و واحد آندزیت که بیشتر در بخش جنوب‌باخته دیده می‌شوند (Richards et al., 2006; Moradi et al., 2019).

داسیت و ریوداسیت که فراوان‌ترین واحدهای سنگی در محدوده معدنی داشکسن هستند، سنگ میزبان اصلی طلا به شمار می‌روند. برپایه ویژگی‌های میکروسکوپی، بافت پورفیری و کمتر گلومروپورفیری دارند و کانی‌های سازنده این سنگ‌ها شامل کوارتز، پلازیوکلاز، سانیدین و کانی‌های فرعی آمفیبول و بیوتیت هستند. پهنۀ برش گرمایی با جنس داسیت میزبان اصلی تورمالین‌ها به شمار می‌رود. این پهنۀ ابعادی نزدیک به ۵۰ در ۹۰ سانتی‌متر دارد و قطعات خردشده آن کمتر از ۱ سانتی‌متر تا نزدیک به ۲۵ سانتی‌متر دیده می‌شود. سنگ‌های آندزیتی با رنگ تیره، بافت پورفیری و بیشتر از بلورهای پلازیوکلاز، هورنبلند سبز، بیوتیت و کمی کلینوپیروکسن، کوارتز، همراه با مقادیر ناچیزی آپاتیت، تیتانیت و زیرکن ساخته شده‌اند.

بررسی‌های پیشین گویای عملکرد دو گسل اصلی با روند NE-SW با مولفه بُرشی راستگرد در منطقه است که شواهد آن با بررسی روند گسل‌ها و درزه‌ها (غلب NE-SW) تایید شده است (Moradi et al., 2019). جابجایی دو گسل یادشده موجب پیدایش پهنۀ بُرشی در منطقه شده است که میزبان کانه‌سازی طلا است (Moradi et al., 2019).

دگرسانی و کانه‌سازی

دگرسانی درونزد در کانسار داشکسن گسترش بالایی دارد



شکل ۲. تصویرهای میکروسکوپی نور بازتابی از کانه‌های مختلف در کانسار داشکسن. **A)** رگه کوارتز- تورمالین- پیریت که با رگچه کوارتز- پیریت دانه‌ریز (گوشه پایین راست) قطع شده است؛ **B)** همرشدی استیبنیت و پیریت با کوارتز در میزبان داسیت، **C)** کانی گالان از اطراف با سروزیت جایگزین شده است.

Figure 2. Reflected-light photomicrographs of various ore mineral from the Dashkasan deposit. **A)** Quartz-tourmaline-pyrite vein has been cut off by fine-grained pyrite-quartz veinlet (Bottom right corner); **B)** Intergrowth of stibnite and pyrite with quartz in dacite host-rock, **C)** Around of the galena mineral changed to the cerussite.

تورمالین

با توجه به ویژگی‌های صحرایی، تورمالین‌ها به سه

در میزبان سنگ‌های داسیت/بوداسیت پورفیری پدید آمده است. کانه‌های پهنۀ طلدار به ترتیب فراوانی شامل استیبنیت (گاه تا ۶۰ درصد حجمی رگه)، آلگار و اورپیمنت (۱۰ درصد حجمی رگه)، پیریت (۵ تا ۲۰ درصد حجمی سنگ)، مارکاسیت (۲-۱ درصد حجمی)، گالان (۵ درصد حجمی)، آرسنوبیریت (۱-۴ درصد حجمی)، کالکوبیریت (۲-۱ درصد حجمی)، اسفالریت (کمتر از ۵٪ درصد حجمی) و بورنیت (کمتر از ۰/۵ درصد حجمی) است. دگرسانی پیریت به اکسید و هیدروکسیدهای آهن تا ارتفاعی ۲۰ تا ۱۵۰ متر را می‌توان در گمانه‌های اکتشافی ردیابی کرد.

کانه‌زایی افشار: این کانه‌زایی بیشتر با حضور کانه‌های سولفیدی پیریت، کالکوبیریت و بورنیت با حجم کمتر از ۵ درصد نمونه در زمینه داسیت دگرسان شده دیده می‌شود و میانگین عیار طلای کمتر از ۰/۲ ppm دارد.

کانه‌زایی برشی گرمابی: پس از کانه‌زایی افشار، مهم‌ترین بخش کانه‌دار و پرعیار کانسار داشکسن، برش‌های گرمابی هستند. قطعات خردشده برش، از جنس سنگ دیواره و به شکل زاویه‌دار تا نیمه‌زاویه‌دار و با اندازه متغیر دیده می‌شوند. تورمالین که مهم‌ترین کانی باطله همراه کانه‌زایی طلا به شمار می‌رود در این بخش از کانسنگ حضور چشمگیری دارد؛ به‌گونه‌ای که گاه تا بیش از ۵۰ درصد حجمی سنگ را دربر می‌گیرد.

کانه‌زایی رگه- رگچه‌ای یا شکافه پرکن: این کانه‌زایی فراوان‌ترین و پرعیارترین بخش ذخیره است و در پنج گروه رگه پرشیب با روند غالب NNE-SSW دیده می‌شود که به ترتیب زمانی از قدیم به جدید شامل:

- (۱) رگه کوارتز- تورمالین- پیریت (عیار طلا کمتر از ۱ گرم در تن) (شکل ۲-A)؛

- ۲) رگه کوارتز- استیبنیت- پیریت (عیار طلا کمتر از ۳/۶ گرم در تن) (شکل ۲-B)؛

- ۳) رگه کوارتز- پیریت شکل دار (عیار طلا ۷/۰ گرم در تن)؛

- ۴) رگه کوارتز- پیریت دانه‌ریز (عیار طلا کمتر از ۷/۰ گرم در تن) (شکل ۲-A)؛

- ۵) رگه کوارتز- گالان- اسفالریت (عیار طلا کمتر از ۶/۷ گرم در تن) است (شکل ۲-C)؛

Moradi, 2018

Richards et al., 2006;

۲) به صورت استوکورک در میزبان داسیت تا آندزیت

پورفیری دگرسان (شکل ۳-**B**);

۳) به صورت سیمان پرکننده قطعات داسیت برشی

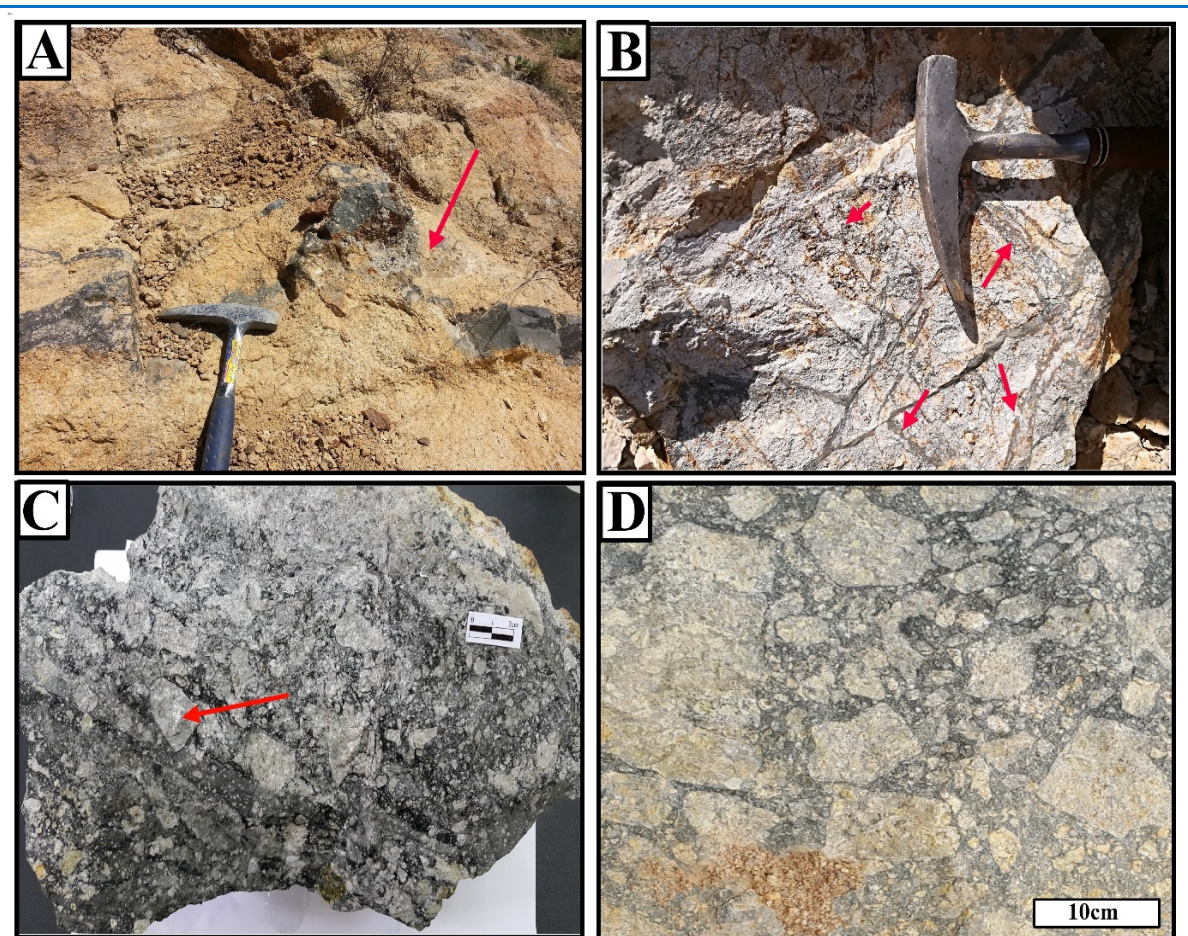
(شکل‌های ۳-**C** و ۳-**D**).).

شکل مختلف دیده می‌شوند:

۱) به صورت رگه‌های نزدیک به چند متر با ضخامت

متغیر ۱۰ تا ۵۰ سانتیمتر در میزبان داسیت

پورفیری (شکل ۳-**A**);



شکل ۳. تصویر نمونه دستی و صحرابی از ساختهای مختلف تورمالین در کانسار طلای داشکسن. **A)** رگه تورمالین در میزبان داسیت پورفیری؛ **B)** ساخت استوکورک تورمالین در میزبان داسیت پورفیری دگرسان؛ **C)** قطعات داسیت پورفیری در فرم برش با زمینه تورمالین؛ **D)** تورمالین در زمینه دارای قطعات درشت و ریز داسیت پورفیری (ماتریکس پشتیبان) (رگه-رگه‌های تورمالین در A و B و قطعات داسیت در C، با پیکان سرخنگ نشان داده شده‌اند).

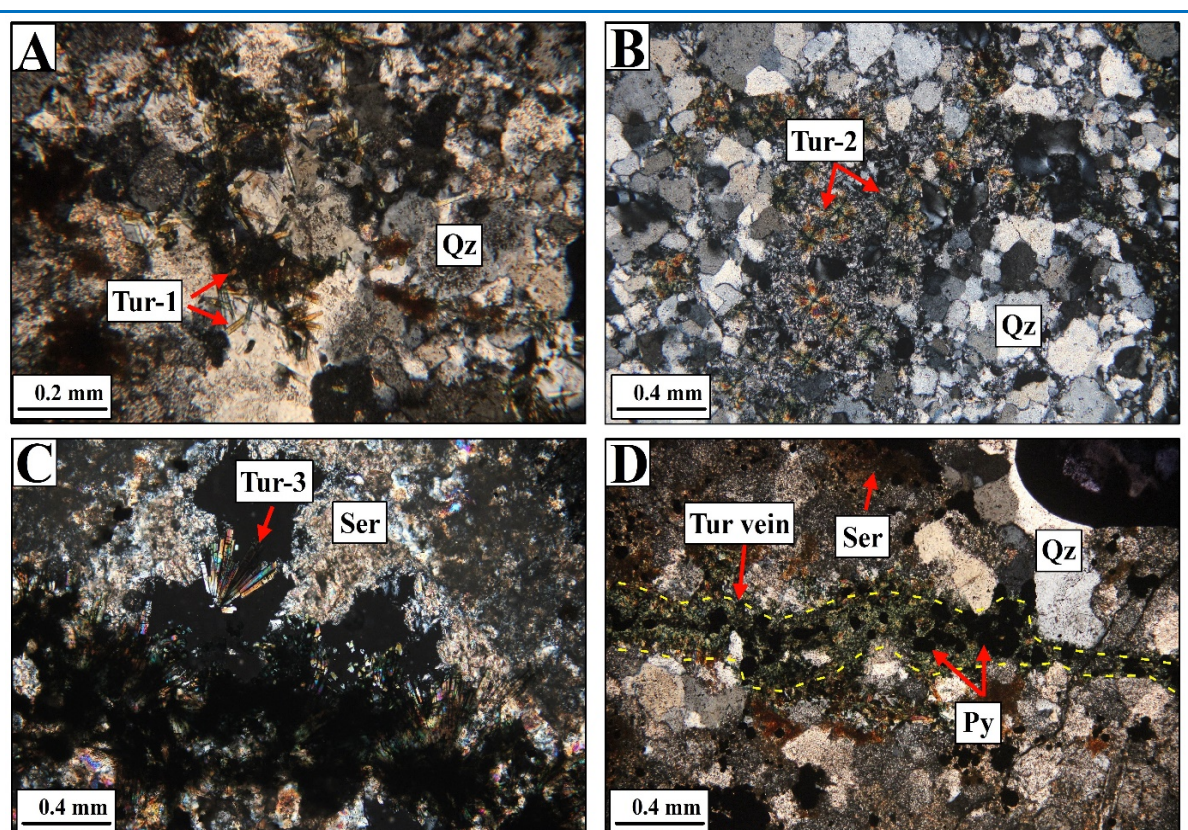
Figure 4. Photographs of hand-specimen and field samples of various tourmaline structures in the Dashkasan gold deposit. **A)** Tourmaline vein in the hosted by dacite porphyry; **B)** Tourmaline stockwork structure in the altered host dacite porphyry; **C)** Brecciated dacite porphyry clasts in the tourmaline groundmass; **D)** Tourmaline in the groundmass of coarse and fine dacite porphyry (matrix supported). The tourmaline vein/veinlets in A, B photos, and dacite clasts are marked with red arrows.

تورمالین‌های سوزنی نوع اول به صورت ریز تا متوسط بلور (کمتر از ۰/۱ تا ۰/۳ میلیمتر) و به صورت

برپایه بررسی‌های میکروسکوپی، سه نوع تورمالین در کانسار طلای داشکسن شناسایی شد.

دیده می‌شوند (شکل‌های B-۴ و B-۵ و E-۴ و F-۵). تورمالین‌های تیغه‌ای در فرم دسته جاروبی نوع سوم با ابعاد ۰/۲ تا ۰/۶ میلیمتر، با منطقه‌بندی ضعیف، در کانسنگ برش گرمایی شناسایی شدند (شکل F-۵). نوع اخیر از تورمالین‌ها به صورت رگه-رگچه‌ای در میزبان دگرسانی فیلیک همراه کانی‌های کوارتز و پیریت دیده شد (شکل C-۴ و D-۴).

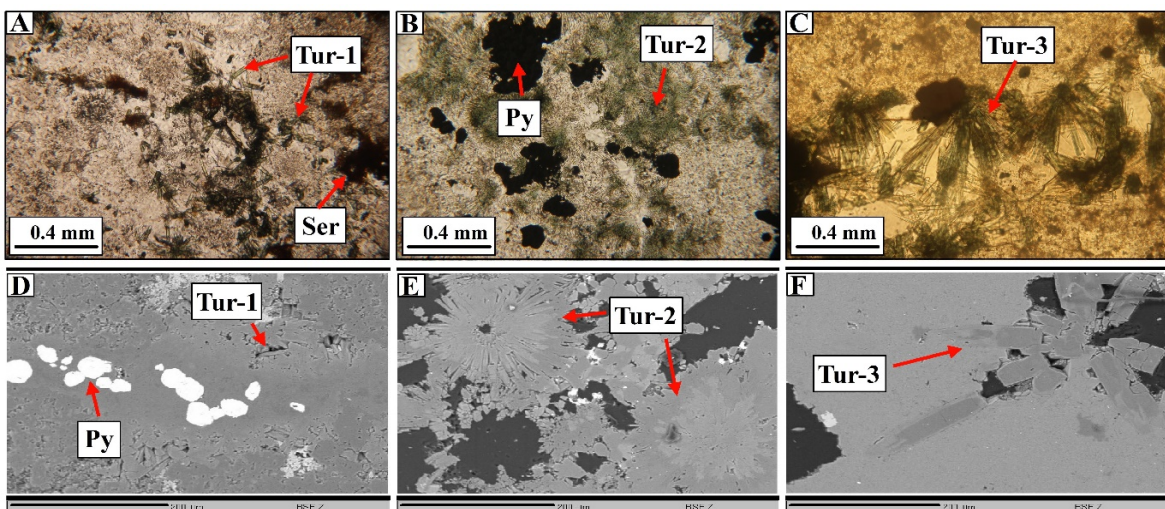
اجتماعات بلوری و پراکنده در دگرسانی فیلیک حضور دارند و کانی‌های همراه آن شامل کوارتز درشت بلور، سریسیت و پیریت هستند (شکل‌های A-۵ و A-۶). تورمالین‌های شعاعی یا خورشیدی نوع دوم با ابعاد ۰/۲ تا ۰/۳ میلیمتر، همراه با کوارترهای دانه متوسط و بیشتر به صورت بافت پرکنده و اغلب همراه با دگرسانی سیلیسی



شکل ۴. تصویرهای میکروسکوپی نور عبوری متقاطع (XPL)^۲ از تورمالین‌های گوناگون در کانسار داشکسان. **A)** تورمالین‌های سوزنی نوع اول در دگرسانی فیلیک؛ **B)** تورمالین‌های شعاعی نوع دوم در دگرسانی سیلیسی؛ **C)** تورمالین تیغه‌ای کشیده نوع سوم در رگه کوارتر-پیریت در میزبان داسیت دگرسان؛ **D)** رگه تورمالین-پیریت در زمینه دگرسانی فیلیک.

Figure 4. Cross-polarized light (XPL) photomicrographs of various tourmaline types in the Dashkasan deposit. **A)** First-type of needle tourmalines in the phyllitic alteration; **B)** Second-type of radial tourmalines in the silicification alteration; **C)** Third-type bladed tourmaline within a quartz-pyrite vein in the altered host dacite; **D)** Tourmaline- pyrite vein in the phyllitic alteration groundmass.

² Cross Polarized Light



شکل ۵. تصویرهای میکروسکوپی در نوری عبوری (PPL^۳) و الکترونی روبشی (BSE^۴) از انواع مختلف تورمالین در کانسار طلای داشکسن. **A, D)** تورمالین سوزنی نوع اول؛ **B, E)** تورمالین شعاعی نوع دوم؛ **C, F)** منطقه‌بندی در تورمالین تیغه‌ای نوع سوم.

Figure 5. Polarized light (PPL) and back-scattered electron microscopy (BSE) images of different types of tourmaline in the Dashkasan gold deposit. **A, D)** First type of the needle tourmaline; **B, E)** Second type of the radial tourmaline; **C, F)** Zoning in the third type of the bladed tourmaline.

^۳ Plane Polarized Light

^۴ Back-scattered electrons

۰/۱۳ و ۲/۳۷ درصدوزنی (**جدول ۴**) است. میانگین $\Sigma(Fe+Mg)$ در تورمالین‌های نوع اول، دوم و سوم به ترتیب ۲/۹۹ و ۲/۳۸، ۲/۷۴ درصدوزنی است. میانگین نسبت $Fe/(Fe+Mg)$ در تورمالین‌های نوع اول، دوم و سوم به ترتیب برابر با ۰/۴۰، ۰/۴۵ و ۰/۲۳ و نیز میانگین $Na/(Na+Ca)$ به ترتیب برابر با ۰/۶۱، ۰/۶۶ و ۰/۹۷ است. مقایسه نسبت‌های یادشده نشان می‌دهد تورمالین‌های نوع سوم که با کانه‌زایی طلا مرتبط هستند بیشترین مقدار نسبت $Na/(Na+Ca)$ و کمترین میزان نسبت $Fe/(Fe+Mg)$ را نشان می‌دهند.

الف- شبیهی کانی تورمالین

تنوع ترکیبی بالا در تورمالین‌ها به‌علت تغییرات عنصرهای Na و Ca و فضای خالی در سایت X و تغییرات عنصرهای Fe و Al در سایت Y است (Yavuz et al., 2008). در تورمالین‌های منطقه داشکسن، عنصرهای اصلی SiO_2 , Na_2O و CaO , MgO , Al_2O_3 تغییرات گسترده‌ای نشان می‌دهند. میانگین این اکسیدها به ترتیب در تورمالین‌های نوع اول برابر با ۶/۸۸، ۸/۳۵، ۳۲/۳۶، ۳۷/۷۳ و ۱/۴۴ درصدوزنی (**جدول ۲**), در نوع دوم برابر با ۱/۵۴ و در سوم برابر با ۱/۵۶ درصدوزنی (**جدول ۳**) و در نوع سوم برابر با ۴/۳۶، ۳۲/۶۴، ۴۰/۳۴ و ۷/۹۲ درصدوزنی.

جدول ۲. داده‌های ریزکاو الکترونی مربوط به بلورهای تورمالین نوع اول از سامانه پورفیری به همراه فرمول تجربی (apfu) برپایه ۳۱ آنیون (O, OH) و آهن کل دوظرفیتی.

Table 2. Microprobe electron data of the first type tourmaline crystals of porphyry system with empirical formula (atoms per formula unit, apfu) based upon a 31 anion (O, OH) and total Fe^{+2} .

Point No.	Sp1	Sp2	Sp3	Sp4	Sp5	Sp6	Sp7	Sp8	Sp9	Sp10	Sp11	Sp12
SiO ₂	39.1	37.9	39.6	38.6	38.1	38.6	36.1	37.9	35.9	38.6	36.6	37.8
TiO ₂	0.42	0.51	0.39	0.61	0.53	1.00	0.39	0.49	0.40	0.59	0.32	0.61

جدول ۲. ادامه.

Table 2. Continued.

Point No.	Sp1	Sp2	Sp3	Sp4	Sp5	Sp6	Sp7	Sp8	Sp9	Sp10	Sp11	Sp12
Al₂O₃	32.30	31.80	33.20	32.00	31.90	32.20	32.00	33.00	33.30	31.20	32.60	33.80
FeO	7.90	8.70	7.70	8.00	8.10	7.60	8.70	8.30	9.10	8.90	8.60	8.00
MnO	0.10	0.09	0.11	0.09	0.08	0.08	0.12	0.12	0.11	0.06	0.03	0.08
MgO	6.70	6.90	6.90	7.00	6.90	6.80	6.80	7.30	6.60	6.90	6.60	7.10
CaO	0.90	1.70	1.10	1.30	1.40	1.10	1.70	1.60	1.90	1.50	1.70	1.40
Na₂O	1.70	1.60	1.40	1.60	1.60	1.60	1.50	1.50	1.50	1.60	1.40	1.50
K₂O	0.04	0.02	0.02	0.03	0.05	0.04	bdl	bdl	0.01	0.01	0.01	0.01
BaO	0.03	0.01	bdl	bdl	0.02	0.07	0.05	0.02	0.02	0.03	0.02	0.01
B₂O₃	11.41	10.91	11.20	10.71	10.90	10.99	10.79	11.07	10.81	10.94	10.50	11.10
Total	100.57	100.13	101.60	99.40	99.56	100.01	99.16	100.32	99.64	100.29	98.36	100.40
Si	6.16	6.03	6.13	6.10	6.07	6.10	5.88	5.95	5.76	6.13	5.81	5.91
Ti	0.05	0.06	0.05	0.07	0.06	0.12	0.05	0.06	0.05	0.07	0.04	0.07
Al	6.00	5.96	6.06	5.97	5.99	5.99	6.14	6.10	6.30	5.84	6.25	6.23
Fe²⁺	1.04	1.16	1.00	1.06	1.08	1.00	1.19	1.09	1.22	1.18	1.21	1.05
Mn	0.01	0.01	0.01	0.01	0.01	0.01	0.02	0.02	0.02	0.01	0.00	0.01
Mg	1.57	1.64	1.59	1.65	1.64	1.60	1.65	1.71	1.58	1.63	1.65	1.65
Ca	0.15	0.29	0.18	0.22	0.24	0.19	0.30	0.27	0.33	0.26	0.31	0.23
Na	0.52	0.49	0.42	0.49	0.49	0.49	0.47	0.46	0.47	0.49	0.46	0.46
K	0.01	0.00	0.00	0.01	0.01	0.01	0.00	0.00	0.00	0.00	0.00	0.00
B	3.00	3.00	3.00	3.00	3.00	3.00	3.00	3.00	3.00	3.00	3.00	3.00
Al (T)	0.00	0.00	0.00	0.00	0.00	0.00	0.12	0.05	0.24	0.00	0.19	0.09
Al (Z)	6.00	5.96	6.0	5.96	5.99	5.99	6.00	6.00	6.00	5.84	6.00	6.00
Al (Y)	0.00	0.00	0.06	0.00	0.00	0.00	0.02	0.05	0.07	0.00	0.06	0.13
Mg(Y)	1.57	1.60	1.59	1.61	1.62	1.59	1.65	1.71	1.58	1.47	1.65	1.65
Mg (Z)	0.00	0.04	0.00	0.04	0.02	0.01	0.00	0.00	0.00	0.17	0.00	0.00
Mg/Mg+Fe	0.60	0.59	0.62	0.61	0.60	0.61	0.58	0.61	0.56	0.58	0.58	0.61
X_{vacancy}	0.32	0.22	0.40	0.28	0.26	0.31	0.23	0.27	0.20	0.25	0.23	0.31
X_{vacancy}+Na	0.84	0.71	0.82	0.77	0.75	0.80	0.70	0.73	0.67	0.74	0.69	0.76
R₁	0.67	0.78	0.60	0.71	0.73	0.68	0.77	0.73	0.79	0.75	0.76	0.69
R₂	2.63	2.81	2.60	2.72	2.73	2.62	2.85	2.81	2.82	2.82	2.86	2.71
R₃	6.06	6.05	6.12	6.06	6.07	6.15	6.21	6.18	6.37	5.93	6.31	6.32
R₁+R₂	3.30	3.59	3.21	3.43	3.46	3.29	3.62	3.54	3.61	3.57	3.63	3.40
X_{vacancy}/(X_{vacancy}+Na)	0.38	0.31	0.49	0.36	0.35	0.39	0.33	0.37	0.30	0.34	0.33	0.41
Mg*	2.58	2.75	2.56	2.65	2.66	2.50	2.81	2.76	2.77	2.75	2.82	2.64
Al*	6.10	6.09	6.15	6.10	6.11	6.23	6.24	6.22	6.40	5.98	6.33	6.37
Na*	0.53	0.50	0.42	0.50	0.50	0.50	0.47	0.46	0.50	0.50	0.46	0.46
Na*+Al*	6.63	6.58	6.57	6.60	6.62	6.73	6.71	6.68	6.87	6.47	6.80	6.83
Mg*+Ca	2.73	3.04	2.74	2.87	2.90	2.68	3.10	3.02	3.10	3.01	3.13	2.87
FeO/FeO + MgO	0.54	0.56	0.53	0.53	0.54	0.53	0.56	0.53	0.58	0.56	0.57	0.53
Fe/(Fe + Mg)	0.51	0.54	0.50	0.50	0.53	0.50	0.50	0.50	0.50	0.51	0.45	0.51
Fe/Mg	0.66	0.71	0.63	0.64	0.66	0.62	0.72	0.64	0.77	0.72	0.73	0.63
Na/(Na + Ca)	0.77	0.63	0.70	0.69	0.67	0.73	0.62	0.63	0.59	0.66	0.60	0.66
Fe + Mg	2.62	2.80	2.59	2.71	2.72	2.61	2.84	2.80	2.80	2.81	2.9	2.7

جدول ۳. داده‌های ریزکاو الکترونی مربوط به بلورهای تورمالین نوع دوم از سامانه پورفیری (برپایه درصد وزنی) به همراه فرمول تجربی (برپایه بروآئید ۳۱ آنیون (O, OH) و آهن کل دو ظرفیتی (apfu

Table 3. Microprobe electron data of the second type tourmaline crystals of porphyry system (at. %) with empirical formula (apfu) based upon a 31 anion (O, OH) and total Fe⁺².

Sample No.	Sp1	Sp2	Sp3	Sp4	Sp5	Sp6	Sp7	Sp8	Sp9	Sp10	Sp11	Sp12	Sp13
SiO ₂	38.3	38.1	38.1	37.9	37.9	37.7	38.8	38.1	37.4	38.9	37.9	39.2	38.70
TiO ₂	0.60	0.65	0.76	0.77	0.48	0.43	0.60	0.30	0.85	0.47	0.47	0.37	0.70
Al ₂ O ₃	29.7	30.2	31.0	30.2	27.8	29.8	31.3	31.9	30.5	31.0	31.5	31.8	27.9
FeO	12.00	9.70	9.30	11.2	14.00	11.90	8.70	7.90	10.50	9.20	9.30	7.50	10.30
MnO	0.07	0.06	0.05	0.08	0.07	0.07	0.02	0.06	0.09	0.06	0.07	0.06	0.18
MgO	6.10	7.40	6.70	6.60	6.60	6.30	6.80	6.80	6.40	6.90	7.00	7.20	8.56
CaO	2.00	1.90	1.90	2.00	1.70	1.90	1.80	1.60	2.10	1.80	2.10	1.40	1.51
Na ₂ O	1.47	1.78	1.35	1.36	1.58	1.70	1.46	1.67	1.30	1.41	1.47	1.64	2.07
K ₂ O	0.04	0.09	0.05	0.04	0.04	0.04	0.08	0.01	0.05	0.06	0.05	0.04	0.05
BaO	0.02	0.01	0.06	0.02	0.02	0.04	0.01	0.02	bdl	0.02	0.02	bdl	bdl
B ₂ O ₃	10.84	10.89	10.87	10.87	10.69	10.77	10.97	10.87	10.78	10.97	10.94	11.02	10.85
Total	101.12	100.57	100.08	101.25	100.86	100.61	100.53	99.21	99.97	100.77	100.80	100.23	100.82
Si (apfu)	6.14	6.07	6.08	6.05	6.16	6.07	6.14	6.09	6.03	6.15	6.02	6.18	6.20
Ti	0.07	0.08	0.09	0.09	0.06	0.05	0.07	0.04	0.10	0.06	0.06	0.04	0.08
Al	5.61	5.67	5.84	5.69	5.32	5.66	5.84	6.01	5.79	5.78	5.10	5.91	5.27
Fe ²⁺	1.61	1.29	1.24	1.50	1.90	1.60	1.15	1.06	1.42	1.22	1.24	0.99	1.38
Mn	0.01	0.01	0.01	0.01	0.01	0.01	0.00	0.01	0.01	0.01	0.01	0.01	0.02
Mg	1.46	1.76	1.60	1.57	1.60	1.51	1.61	1.62	1.54	1.63	1.66	1.70	2.04
Ca	0.34	0.32	0.33	0.34	0.30	0.33	0.31	0.28	0.36	0.31	0.36	0.24	0.26
Na	0.46	0.55	0.42	0.42	0.50	0.53	0.45	0.52	0.41	0.43	0.45	0.50	0.64
K	0.01	0.02	0.01	0.01	0.01	0.01	0.02	0.00	0.01	0.01	0.01	0.02	0.01
B	3.00	3.00	3.00	3.00	3.00	3.00	3.00	3.00	3.00	3.00	3.00	3.00	3.00
Al (T)	0.00	0.00	0.00	0.00	0.00	0.00	0.00	0.00	0.00	0.00	0.00	0.00	0.00
Al (Z)	5.61	5.67	5.84	5.69	5.32	5.66	5.84	6.00	5.79	5.78	5.90	5.91	5.27
Al (Y)	0.00	0.00	0.00	0.00	0.00	0.00	0.00	0.01	0.00	0.00	0.00	0.00	0.00
Mg(Y)	1.06	1.46	1.43	1.26	0.92	1.17	1.44	1.62	1.33	1.41	1.56	1.60	1.31
Mg (Z)	0.39	0.33	0.17	0.31	0.68	0.34	0.16	0.00	0.21	0.22	0.10	0.09	0.74
Mg/Mg+Fe	0.48	0.58	0.56	0.51	0.46	0.49	0.58	0.61	0.52	0.57	0.57	0.63	0.60
X-vacancy	0.19	0.11	0.15	0.23	0.2	0.13	0.23	0.21	0.22	0.25	0.18	0.25	0.8
X-vacancy+Na	0.65	0.66	0.57	0.65	0.70	0.66	0.68	0.73	0.63	0.68	0.63	0.75	1.44
R ₁	0.80	0.87	0.74	0.76	0.794	0.86	0.75	0.79	0.77	0.74	0.81	0.74	0.91
R ₂	3.07	3.06	2.84	3.08	3.51	3.13	2.76	2.68	2.97	2.85	2.90	2.69	3.45
R ₃	5.70	5.77	5.96	5.81	5.40	5.73	5.93	6.05	5.93	5.85	5.97	5.96	5.38
R ₁ +R ₂	3.87	3.93	3.59	3.84	4.30	3.98	3.51	3.47	3.73	3.59	3.71	3.43	4.35
Xvacancy/(Xvacancy+Na)	0.29	0.17	0.26	0.35	0.29	0.20	0.34	0.29	0.35	0.37	0.28	0.33	0.55
Mg*	3.00	2.98	2.75	2.99	3.45	3.04	2.69	2.65	2.86	2.80	2.85	2.64	2.36
Al*	5.75	5.83	6.01	5.87	5.44	5.76	5.98	6.08	6.00	5.89	6.01	5.99	6.43
Na*	0.47	0.57	0.43	0.43	0.51	0.54	0.46	0.52	0.42	0.44	0.46	0.51	0.65
Na*+Al*	6.22	6.39	6.45	6.30	5.95	6.30	6.45	6.60	6.42	6.33	6.47	6.50	6.09
Mg*+Ca	3.34	3.30	3.08	3.33	3.75	3.40	2.99	2.92	3.23	3.10	3.20	2.88	3.62
FeO/FeO + MgO	0.66	0.57	0.58	0.63	0.68	0.65	0.56	0.54	0.62	0.57	0.57	0.51	0.55
Fe/(Fe + Mg)	0.15	0.70	0.16	0.92	0.99	0.23	0.34	0.46	0.58	0.50	0.98	0.50	0.50
Fe/Mg	3.06	3.05	2.84	3.7	3.50	3.12	2.76	2.67	2.95	2.84	2.89	2.68	0.64
Na/(Na + Ca)	0.57	0.63	0.56	0.55	0.63	0.62	0.54	0.65	0.53	0.59	0.56	0.68	0.71
Fe + Mg	3.06	3.05	2.84	3.07	3.50	3.12	2.76	2.67	2.95	2.84	2.89	2.68	3.42

جدول ۴. داده‌های ریزکاو الکترونی مربوط به بلورهای تورمالین نوع سوم از سامانه برشی گرمابی بهمراه فرمول تجربی (برپایه apfu) برپایه ۳۱ آنیون (O, OH) و آهن کل دو ظرفیتی.

Table 4. Microprobe electron data of the third type tourmaline crystals of epithermal system with empirical formula (apfu) based upon a 31 anion (O, OH) and total Fe⁺².

Point No.	Sp1	Sp2	Sp3	Sp4	Sp5	Sp6	Sp7	Sp8	Sp10	Sp10	Sp11
SiO₂	40.10	39.2	39.8	39.20	40.30	40.30	40.40	40.60	40.70	41.10	41.00
TiO₂	0.47	0.98	0.32	0.63	1.10	0.37	0.77	0.67	0.47	0.31	0.29
Al₂O₃	35.00	31.0	35.8	32.6	31.5	34.9	32.5	33.5	33.8	34.6	35.2
FeO	3.23	5.58	2.80	5.57	5.18	3.49	5.08	5.27	4.58	3.74	3.46
MnO	0.19	0.11	0.15	0.18	0.10	0.15	0.17	0.12	0.20	0.27	0.13
MgO	8.07	8.52	7.69	7.85	9.01	7.74	7.75	7.04	7.42	7.47	7.53
CaO	0.04	0.32	0.06	0.16	0.30	0.08	0.17	0.11	0.11	0.05	0.01
Na₂O	2.26	2.66	2.22	2.60	2.49	2.45	2.45	2.60	2.32	2.11	1.88
K₂O	0.03	0.11	0.03	0.05	0.05	0.03	0.06	0.08	0.03	0.02	0.03
BaO	0.02	0.02	0.03	0.04	0.01	0.05	0.01	0.01	bdl	0.02	0.03
B₂O₃	11.35	11.01	11.32	11.08	11.25	11.35	11.21	11.30	11.30	11.38	11.40
Total	100.74	99.45	100.19	99.92	101.28	100.86	100.56	101.36	100.93	101.05	100.93
Si (apfu)	6.14	6.19	6.10	6.14	6.22	6.16	6.26	6.26	6.25	6.27	6.25
Ti	0.05	0.12	0.04	0.07	0.13	0.04	0.09	0.08	0.05	0.04	0.03
Al	6.31	5.77	6.47	6.01	5.73	6.29	5.93	5.94	6.12	6.22	6.32
Fe²⁺	0.41	0.74	0.36	0.73	0.67	0.45	0.66	0.66	0.59	0.48	0.44
Mn	0.03	0.02	0.02	0.02	0.01	0.02	0.02	0.02	0.03	0.04	0.02
Mg	1.84	2.00	1.76	1.83	2.08	1.77	1.79	1.80	1.70	1.70	1.71
Ca	0.01	0.05	0.01	0.03	0.05	0.01	0.03	0.02	0.02	0.01	0.00
Na	0.67	0.81	0.66	0.79	0.75	0.73	0.74	0.76	0.69	0.62	0.56
K	0.01	0.02	0.01	0.01	0.01	0.01	0.01	0.02	0.01	0.00	0.01
B	3.00	3.00	3.00	3.00	3.00	3.00	3.00	3.00	3.00	3.00	3.00
Al (T)	0.00	0.00	0.00	0.00	0.00	0.00	0.00	0.00	0.00	0.00	0.00
Al (Z)	6.00	5.77	6.00	6.00	5.73	6.00	5.93	5.94	6.00	6.00	6.00
Al (Y)	0.31	0.00	0.47	0.01	0.00	0.29	0.00	0.00	0.12	0.22	0.32
Mg(Y)	1.84	1.77	1.76	1.83	1.80	1.77	1.72	1.70	1.70	1.70	1.71
Mg (Z)	0.00	0.24	0.00	0.00	0.28	0.00	0.07	0.06	0.00	0.00	0.00
Mg/Mg+Fe	0.82	0.73	0.83	0.72	0.76	0.80	0.73	0.73	0.74	0.78	0.79
X_{vacancy}	0.31	0.11	0.32	0.17	0.19	0.25	0.21	0.20	0.28	0.36	0.44
X_{vacancy}+Na	0.98	0.92	0.98	0.96	0.94	0.98	0.95	0.96	0.97	0.98	0.99
R₁	0.68	0.89	0.68	0.83	0.81	0.75	0.78	0.79	0.72	0.64	0.56
R₂	2.28	2.76	2.14	2.58	2.75	2.23	2.47	2.48	2.31	2.21	2.17
R₃	6.39	5.92	6.52	6.11	5.90	6.34	6.05	6.04	6.19	6.27	6.36
R₁+R₂	2.96	3.63	2.81	3.40	3.55	2.97	3.23	3.26	3.02	2.84	2.72
X_{vacancy}/(X_{vacancy}+Na)	0.32	0.12	0.33	0.18	0.20	0.26	0.22	0.21	0.29	0.37	0.44
Mg*	2.23	2.64	2.10	2.50	2.62	2.19	2.38	2.40	2.26	2.18	2.14
Al*	6.42	6.00	6.54	6.16	5.98	6.37	6.11	6.09	6.23	6.29	6.39
Na*	0.68	0.84	0.67	0.80	0.76	0.73	0.74	0.77	0.70	0.63	0.56
Na*+Al*	7.10	6.83	7.21	6.96	6.74	7.11	6.86	6.86	6.92	6.92	6.95
Mg*+Ca	2.23	2.69	2.11	2.54	2.67	2.20	2.41	2.42	2.28	2.18	2.14
FeO/FeO + MgO	0.29	0.40	0.27	0.42	0.37	0.31	0.40	0.40	0.38	0.33	0.31
Fe/(Fe + Mg)	0.47	0.40	0.48	0.44	0.47	0.44	0.44	0.46	0.53	0.44	0.52
Fe/Mg	0.22	0.38	0.20	0.40	0.32	0.25	0.37	0.37	0.35	0.28	0.26
Na/(Na + Ca)	0.99	0.94	0.99	0.97	0.94	0.98	0.96	0.98	0.97	0.99	0.99
Fe + Mg	2.25	2.74	2.12	2.56	2.74	2.21	2.45	2.47	2.29	2.18	2.15

bdl: below detection limit

R₁=Na+K+Ca

R₂=Mg+Fe⁺²+Mn+Fe⁺³+Cr+V+Ti+Al

R₃=Al+Fe⁺³+Mg+1.33Ti

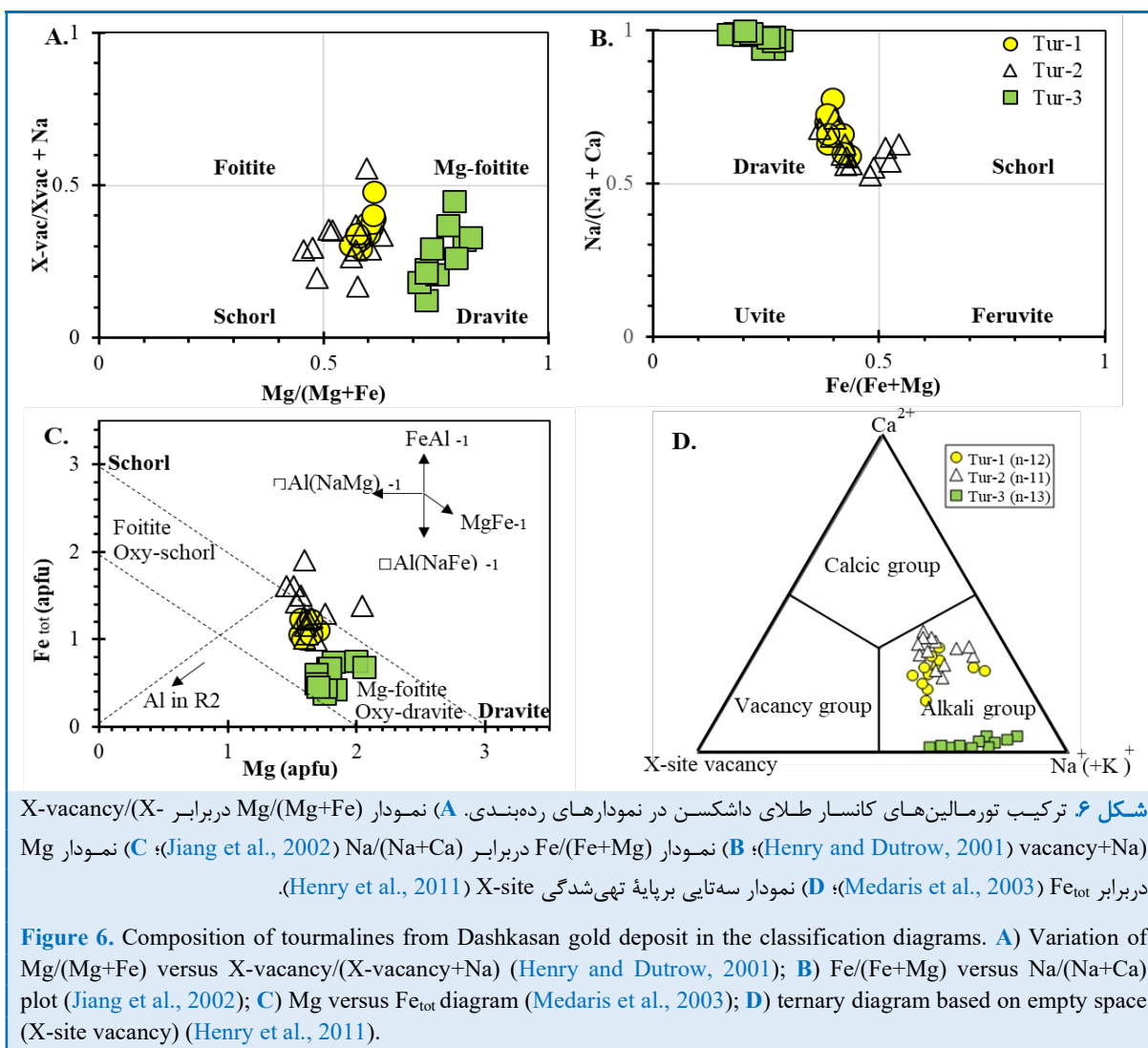
نمونه‌های نوع دوم که کمترین مقدار ($\Sigma(Fe+Mg)$) را نسبت به دو نوع دیگر دارند، بیشتر است. این نکته خود گویای نقش آشکار Al در هنگام رشد گونه دوم تورمالین‌هاست. شاید بتوان گفت تورمالین‌های نوع اول و سوم با جانشینی Al در جایگاه Y و حضور عنصرهای Na و Mg، ترکیب دراویت دارند؛ اما ترکیب تورمالین‌های نوع دوم با جانشینی Mg بیشتر نسبت به میزان Fe از دراویت به شورل گرایش پیدا کرده است. از این‌رو، با توجه به واکنش‌های جانشینی، تورمالین‌های داشکسن روند تهی‌شدنی از آهن و غنی‌شدنی منیزیم نشان می‌دهند. نمودار سه‌تایی X-site برپایه میزان Ca, Na, K و فضای خالی vacancy، نشان‌دهنده رده‌بندی سه نوع تورمالین‌های قلیایی، کلسیک و تورمالین‌هایی با جایگاه X خالی، است (Hawthorne and Henry, 1999). برپایه آن، تورمالین‌های کانسار داشکسن در قلمروی تورمالین‌های قلیایی جای می‌گیرند (شکل ۶-۴)؛ هرچند دو نوع اول و دوم اندکی به قطب گروه کلسیک گرایش دارند. این نکته نشان‌دهنده بالابودن مقدار سدیم و پتاسیم در مقایسه با میزان کلسیم موجود در جایگاه X برای تورمالین‌های نوع سوم است. برخلاف تورمالین‌های نوع اول و دوم، تفاوت چشمگیری در مقدار کمبود در جایگاه X نمونه‌های تورمالین نوع سوم دیده می‌شود (شکل ۶-۵).

در نمودار سه‌تایی $Mg-Ca-Fe_{tot}$ ، ترکیب و خاستگاه تورمالین‌های داشکسن از دیدگاه سنگ‌شناسی و غنی‌شدنی یا تهی‌شدنی از عنصرهای Henry and Guidotti, (1985) تصویرکردن داده‌ها روی این نمودار نشان می‌دهد تورمالین‌های بررسی شده، در میان دو قطب غنی از آهن و منیزیم و در گستره ترکیبی متاپسامیت و متاپلیت‌های فقیر از کلسیم و سنگ‌های کوارتز-تورمالین‌دار جای می‌گیرند (شکل ۶-۷). در این میان، تورمالین‌های نوع سه، تمرکز بیشتری در نیمه‌وابسته به دراویت در نمودار سه‌تایی دارند.

ب- تغییرات ترکیب شیمیایی در تورمالین‌ها

برای بررسی تغییرات ترکیبی در عنصرهای Fe, Ca, Na و Mg و شناسایی نوع تورمالین‌ها، نمودار دو-تایی نسبت $Mg/(Mg+Fe)$ در برداشت $X-X$ vacancy/ $(X-vacancy+Na)$ (Henry and Dutrow, 2001) در این نمودار تورمالین‌های نوع اول و سوم در محدوده دراویت، و نوع دوم در قلمروی دراویت تا شورل جای گرفتند. همچنین، یک نمونه از نوع اخیر در محدوده فوییتیت منیزیم دار جانمایی شده است (شکل ۶-۶). نمودار دو-تایی نسبت $Na/(Na+Ca)$ در برداشت $Fe/(Fe+Mg)$ دربرابر (Jiang et al., 2002) نیز ترکیب تورمالین‌ها را تأیید می‌کند (شکل ۶-۶B). در این نمودار، تورمالین‌های نوع اول و دوم در مقایسه با نمونه‌های تورمالینی نوع سوم میزان Fe بالاتری دارند.

در محاسبات داده‌های ریزکاو الکترونی، Fe_{tot} به صورت Fe^{2+} در نظر گرفته می‌شود؛ اما Fe^{3+} چه بسا در جایگاه‌های Z و Y تورمالین نیز وجود داشته باشد (Yavuz et al., 2008). برای بررسی وضعیت جانشینی در جایگاه Y، نمودار تغییرات Fe_{tot} در برداشت Mg (شکل ۶-۶C) به کار برده شد. در این نمودار، تورمالین با ترکیب شورل-دراویت روی خط $\Sigma(Fe+Mg)=3$ جای می‌گیرد و در زیر خط 3 پدیده جانشینی Al در مکان اکتاهدراal Y رخ می‌دهد، یا به گفته دیگر، میزان Al در R_2 افزایش می‌یابد. هرچه مقدار $\Sigma(Fe+Mg)$ کمتر باشد، جانشینی Al در جایگاه Y بیشتر می‌شود (London and Manning, 1995). برپایه این نمودار، همه تورمالین‌های نوع اول و سوم داشکسن در زیر خط ترکیبی شورل-دراویت جای گرفتند و تورمالین‌های نوع دوم هم راستایی با بردار $MgFe_{1-x}$ نشان می‌دهند. پراکندگی داده‌های تورمالین‌های نوع دوم نشان می‌دهند جایگزینی‌های $Al(NaMg)_{1-x}$ و $Al(NaFe)_{1-x}$ در نمونه‌های نوع دوم دیده می‌شوند (شکل ۶-۶C). آنچه از این نمودار بر می‌آید اینست که میزان جانشینی Al در جایگاه Y



شکل ۶. ترکیب تورمالین‌های کانسار طلای داشکسان در نمودارهای رده‌بندی. **(A)** نمودار $Mg/(Mg+Fe)$ دربرابر $X\text{-vac}/(X\text{-vac} + Na)$ (Henry and Dutrow, 2001); **(B)** نمودار $Fe/(Fe+Mg)$ دربرابر $Na/(Na+Ca)$ (Henry and Dutrow, 2001) **(C)** (Jiang et al., 2002) $Na/(Na+Ca)$ دربرابر $Fe/(Fe+Mg)$ (Henry et al., 2011) **(D)** (Medaris et al., 2003) Fe_{tot} دربرابر $X\text{-site}$ برپایه تهی شدگی (Medaris et al., 2003).

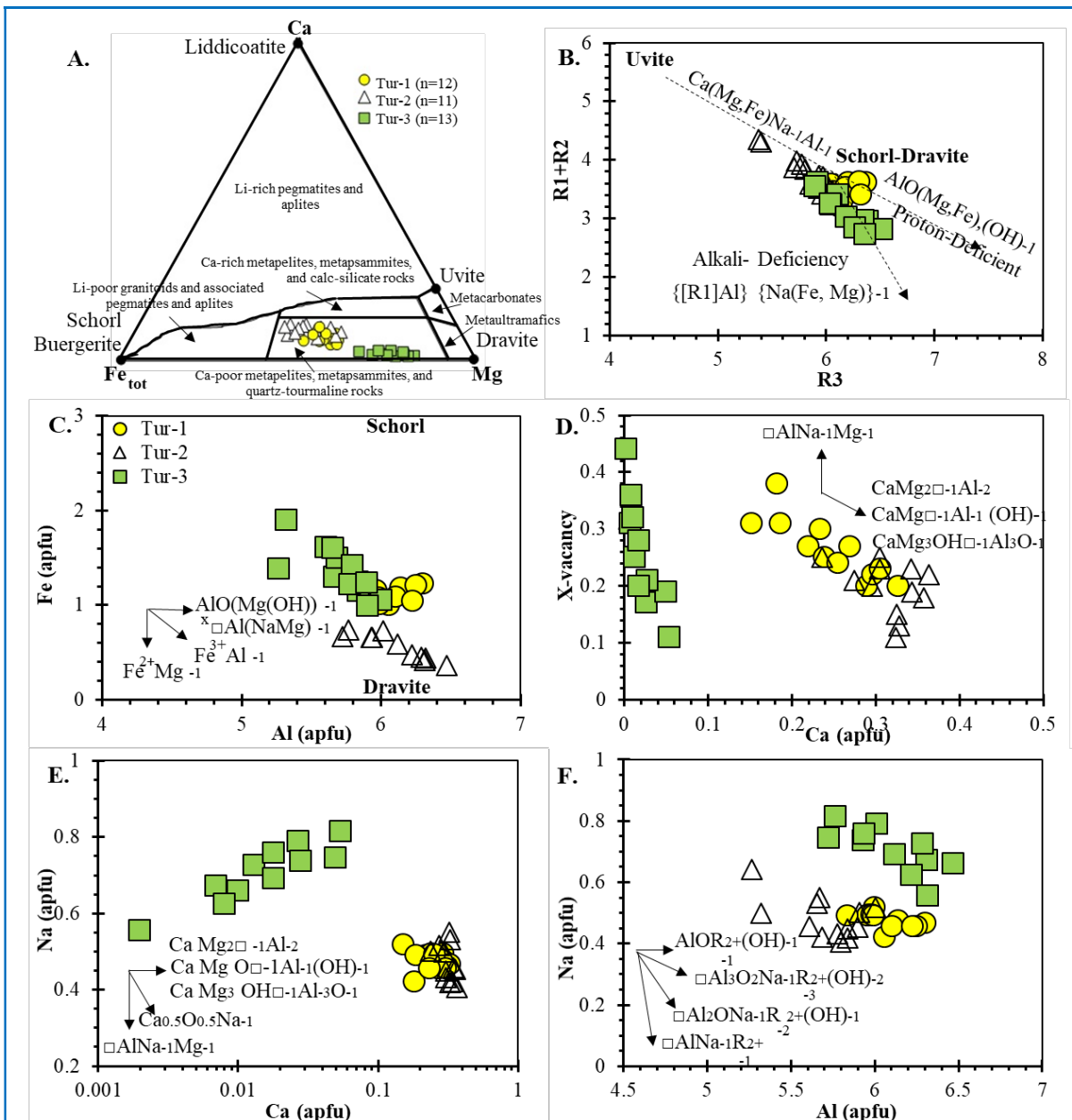
Figure 6. Composition of tourmalines from Dashkasan gold deposit in the classification diagrams. **A)** Variation of $Mg/(Mg+Fe)$ versus $X\text{-vacancy}/(X\text{-vacancy}+Na)$ (Henry and Dutrow, 2001); **B)** $Fe/(Fe+Mg)$ versus $Na/(Na+Ca)$ plot (Jiang et al., 2002); **C)** Mg versus Fe_{tot} diagram (Medaris et al., 2003); **D)** ternary diagram based on empty space ($X\text{-site}$ vacancy) (Henry et al., 2011).

در ترکیب شیمیایی تورمالین، واکنش‌های تبادلی میان ظرفیت‌های همانند یا متغیر (مانند جانشینی $\text{Y}^{Y\text{Fe}^{2+}} \leftrightarrow \text{Y}^{Y\text{Mg}^{2+}}$ در جایگاه Y) دیده می‌شود (شکل ۷). رسم نمونه‌های تورمالین داشکسان در نمودار Fe نسبت به Al , یک برازش خطی وارون را نشان می‌دهد و این آرایه بیشترین سازگاری را با جانشینی $\text{Al}_{-1}\text{Fe}^{3+}\text{Al}_{-1}$ دارد (شکل ۷). نشان دهنده درجه کم جانشینی و حضور Al است. در نمودار Ca دربرابر $X\text{-vacancy}$ است. در نمودار Ca دربرابر $X\text{-vacancy}$ متفاوت دیده می‌شود. تورمالین‌های مربوط به سامانه پورفیری (نوع اول و دوم) جانشینی عنصرهای آلومنیم و منیزیم را با کلسیم نشان

به طور کلی، تورمالین‌ها می‌توانند سه روند مایل به سمت یووایت، یعنی جانشینی $\text{Ca}_{-1}\text{(Fe, Mg)}_{-1}\text{(Na, Al)}$, نقص آلkalی (تهی شدگی قلیایی)، یعنی گرایش به جانشینی $\text{R}_1(\text{Al})(\text{Na}(\text{Fe, Mg}))_{-1}$ و نقص پروتونی (پروتون زدایی)، یعنی گرایش به جانشینی $\text{R}_3(\text{O}(\text{R}_2)\text{OH})_{-1}$ را نشان دهند یا اینکه در فاصله میان این روندها جای گیرند (Manning, 1982). جایگاه تورمالین‌های داشکسان روی نمودار R_3+R_2 (شکل ۷) نشان می‌دهد ترکیب شیمیایی تورمالین‌ها از سورل به سوی دراویت، تهی شدگی قلیایی‌ها افزایش می‌یابد و جانشینی Al با نقص آلkalی همراه است.

دارند و جانشینی Al , Na و Mg را در موقعیت خالی X نشان می‌دهند (شکل ۷-**D**).

می‌دهند؛ اما تورمالین‌های نوع سوم که مربوط به پهنه‌برش گرمابی هستند، کمترین میزان کلسیم را



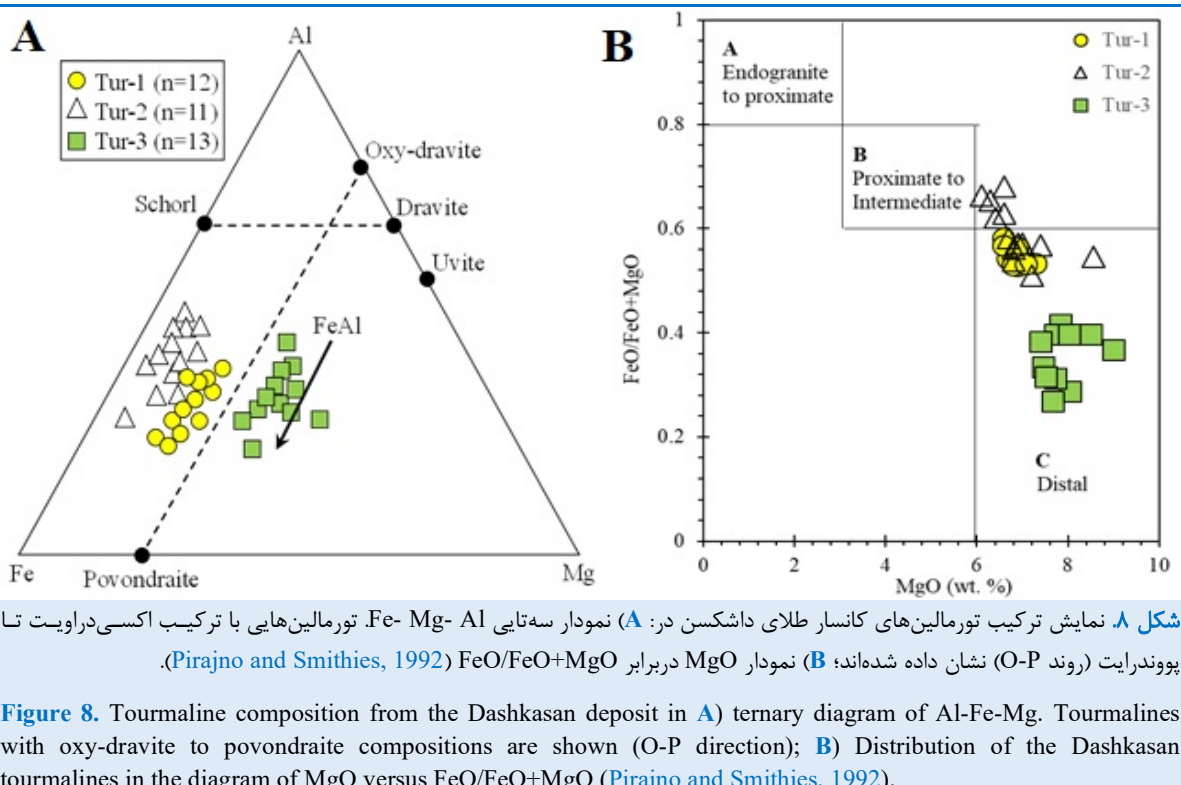
شکل ۷. ترکیب تورمالین‌های کانسار داشکسن در: **(A)** نمودار سه‌تایی برپایه $\text{Mg}-\text{Ca}-\text{Fe}_{\text{tot}}$ (Henry and Guidotti, 1985); **(B)** نمودار R_1+R_2 versus R_3 (Manning, 1982). در این نمودار $R_1=\text{Na}+\text{Ca}$, $R_2=\text{Fe}_{\text{tot}}+\text{Mg}+\text{Mn}^{2+}$ و $R_3=\text{Al}+1.33\text{Ti}$ هستند; **(C)** Al versus Fe نمودار Al دربرابر Fe ; **(D)** Ca دربرابر X -vacancy نمودار Ca دربرابر Fe ; **(E)** Na دربرابر Ca نمودار Na دربرابر Ca (بردارهای تبادلی از مداریس و همکاران (Medaris et al., 2003)).

Figure 7. Representative of the Dashkasan deposit tourmalines. **A)** On the ternary diagram of $\text{Mg}-\text{Ca}-\text{Fe}_{\text{tot}}$ (Henry and Guidotti, 1985); **B)** Binary diagram for R_1+R_2 versus R_3 (Manning, 1982). In this diagram, $R_1=\text{Na}+\text{Ca}$, $R_2=\text{Fe}_{\text{tot}}+\text{Mg}+\text{Mn}^{2+}$ and $R_3=\text{Al}+1.33\text{Ti}$; **C**) Al versus Fe diagram; **D**) Ca versus X -vacancy diagram; **E**) Ca versus Na diagram; **F**) Al versus Na diagram (exchange vectors from Medaris et al. (2003))

تورمالین‌های نوع اول و دوم است. همچنین، کمبودن مقدار Al در تورمالین‌های نوع سوم ویژگی گرمابی را نشان می‌دهد؛ اما کمتر بودن مقدار Fe^{+2} نسبت به Mg در هر سه نوع گویای نقش سیال‌های گرمابی در پیدایش تورمالین‌های است (Cavarretta and Puxeddu, 1990; Henry and Dutrow, 2012). در نمودار سه‌تایی Al-Fe-Mg (Dutrow, 2012) نشان دهنده شرایط اکسیدی در زمان پیروی می‌کند (شکل ۷-۸A). چنین تورمالین‌هایی همراستای بردار FeAl_1 هستند. جانشینی کاتیونی Fe^{3+} بجای Al نشان دهنده شرایط اکسیدی در زمان پیدایش این نوع تورمالین‌های است (Henry and Dutrow, 2012 and Dutrow, 2012). به باور دوترو و هنری (Henry and Dutrow, 2018) تورمالین‌هایی که در مناطق بشی پدید می‌آیند افزایش نفوذپذیری، با نفوذ سیال‌های سدیم و بوردار همراه بوده است. مقدار بالای سدیم تورمالین‌های نوع سوم که در پهنه گسلی پدید آمده‌اند نیز آن را تایید می‌کند. نسبت بالای $\text{FeO}/(\text{FeO}+\text{MgO})$ در تورمالین‌ها (از ۰/۸ تا ۱) نشان دهنده بسته‌بودن سامانه ماقمایی، درون گرانیتوپیید، نبود دخالت سیال خارجی و نبود آلایش آنها با رسوب‌های غنی از آلومینیم است. چنانچه این نسبت برابر با ۰/۶ تا ۰/۸ باشد نشان دهنده تورمالین‌هایی است که در نزدیکی توده نیمه‌زرف آذرین هستند و اختلاط سیال ماقمایی و گرمابی را نشان می‌دهند. اگر این نسبت از ۰/۶ کمتر باشد نشان دهنده تورمالین‌های دور از توده نیمه‌زرف است و گواهی بر خاستگاه خارجی بور و وجود سامانه گرمابی است (Pirajno and Smithies, 1992). این نسبت در تورمالین‌های نوع اول و دوم به طور میانگین، نزدیک به ۰/۶ است و نشان دهنده پیدایش این تورمالین‌ها هنگام رخداد اختلاط سیال ماقمایی و گرمابی است. در تورمالین‌های نوع سوم این نسبت برابر با ۰/۴ است و از این‌رو، نشانه دخالت حجم بالایی از آبهای جوی هنگام پیدایش آنها در سامانه گرمابی است (شکل ۷-۸B).

در نمودار تغییرات کلسیم دربرابر سدیم (شکل ۷-۸E)، تورمالین‌های نوع اول و دوم تا اندازه‌ای غنی‌شده‌گی سدیم و کلسیم ($\text{Ca}_{\sim 0.15} - \text{Ca}_{\sim 0.36}$ apfu) نشان می‌دهند؛ اما تورمالین‌های نوع سوم کلسیم کمتری (Ca < ۰/۱ apfu) دارند. روند افزایشی در تورمالین‌های نوع سوم نشان دهنده نبود جانشینی Ca و Na در این نمونه‌های است (شکل ۷-۸E). توزیع نقاط تورمالین نوع سوم در نمودار Al دربرابر Na نشان می‌دهد جانشینی $\square\text{Al}_3\text{O}_2\text{Na}-\text{R}_{2+}(\text{OH})_{2-}$ مهم است و نشان دهنده پیدایش فضای تهی در جایگاه X است (شکل ۷-۸F)، اما جایگزینی‌ها در دو نوع دیگر متفاوت است. این بدان معناست که جانشینی‌ها در تورمالین‌های نوع اول به موازات بردار $\text{AlOR}_{2+}(\text{OH})$ و در تورمالین‌های نوع دوم با روند $\text{Al}_2\text{ONa}-\text{R}_{2+}(\text{OH})$ روی می‌دهند (شکل ۷-۸F).

ترکیب تورمالین‌های نوع اول در فاصله میان دو بردار تهی‌شده‌گی قلیایی و پروتون‌زدایی جای گرفته است که چه بسا گویای سرشت ماقمایی آنهاست؛ اما تورمالین‌های نوع دوم و سوم به‌سوی بخش بیرونی بردارها کشیده شده‌اند که این ویژگی از ویژگی‌های تورمالین‌های گرمابی است. تورمالین‌های داشکسن محتوای قلیایی بالایی دارند. برپایه جانشینی‌های کاتیونی، تورمالین‌های نوع سوم برخلاف دو نوع اول و دوم که به تورمالین‌های کلسیکی گرایش دارند در جایگاه X آنها، مقدار سدیم و پتاسیم نسبت به مقدار کلسیم بیشتر است. چنین تورمالین‌های قلیایی عموماً در شرایط اسیدی و دمای کم پدید می‌آیند (Rosenberg and Foit, 1979; Collines, 2010). نسبت $\Sigma(\text{Fe/Mg})$ در تورمالین‌های نوع اول و دوم به ترتیب برابر با ۰/۶۸ و ۰/۸۲ است و میزان Al آنها در جایگاه اکتاهدری Y بالاست. نسبت $\Sigma(\text{Fe/Mg})$ نوع سوم به میزان ۰/۳۰ و مقدار Al در آنها کمتر است و کاستی کمتری در جایگاه X نشان می‌دهند. مقدار $\text{Mg}/(\text{Fe}+\text{Mg})$ در تورمالین نوع سوم کمتر از دو نوع دیگر است. ناهمخوانی میان Fe^{+2} و Mg نشان دهنده تأثیر شاره‌های ماقمایی در پیدایش



در گیر سه فازی، شمار آنها اندک بود و احتمال داشت ثانویه باشند، از بررسی ریزدماسنجی آنها چشم پوشی شد. برپایه سنگنگاری و از دیدگاه اجتماع سیال‌های در گیر^۵، بیشتر سیال‌های در گیر دوفازی L+V همراه سیال‌های در گیر تک فاز مایع (L) و گاز (V) و به ندرت همراه سیال‌های در گیر سه‌فازی L+V+S دیده شدند. تصویرهایی از سیال‌های در گیر در **شکل ۹** آورده شده‌اند.

ب- ریزدماسنجی

برای تعیین شرایط فیزیکوشیمیایی سیال کانه‌ساز، بررسی سیال‌های در گیر روی کانی‌های کوارتز همزدراز با تورمالین در رگه‌های کوارتز-تورمالین-پیریت انجام شد. از این‌رو، بررسی روی پائزده سیال در گیر اولیه (P) با موقعیت منفرد و درون‌دانه‌ای که همگی از نوع دوفازی (L+V) بودند، متمرکز بوده است. همه سیال‌ها در زمان دما‌سنجی به فاز مایع همگن شدند

بررسی سیال‌های در گیر

الف- سنگنگاری سیال‌های در گیر

برای تعیین دما، سیال‌های در گیر در کانی کوارتز درون رگه‌های کوارتز-تورمالین-پیریت (نسل اول رگه‌ها) بررسی شدند. سنگنگاری سیال‌های در گیر اولیه نشان می‌دهد این میانبارها به صورت جداکانه^۶ و گاه خوش‌های^۷ به شکل‌های چندضلعی، سه‌گوش، بیضوی، کشیده، میله‌ای، نامنظم و بسی شکل دیده می‌شوند و اندازه آنها از ۵ تا ۴۰ میکرون در تغییر است. هر چند سیال‌های در گیر با شکل منفی بلور در کوارتزهای همراه با تورمالین نیز به ندرت دیده می‌شوند. برپایه شمار فازهای موجود در دمای اتاق، چهار گروه سیال در گیر در کانی کوارتز شناسایی شدند که شامل سیال‌های در گیر دوفازی مایع+گاز (L+V)، سه‌فازی مایع+گاز+هالیت (L+V+S) و تک فاز مایع (L) و تک فاز گاز (V) هستند. از آنجایی که افزون‌بر پراکندگی سیال‌های

⁷ Fluid Inclusion Assemblage

⁵ Isolate

⁶ Cluster

است. دمای همگن شدن در این سیال‌های درگیر از ۱۸۵ تا ۲۵۴ درجه سانتیگراد (میانگین: ۲۲۵ درجه سانتیگراد) در تغییر است (شکل ۹-۱۰). گفتنی است در شمار کمی از سیال‌های درگیر نوع $L+V$ فاز CO_2 تشخیص داده شد که در دمای نزدیک به $-58/8$ درجه سانتیگراد ذوب شد. از آنجایی که دی‌اسید کربن خالص نقطه ذوب کمی ($-56/6$ درجه سانتیگراد) دارد درگیر کانسار داشکسن احتمالاً نشان‌دهنده حضور ترکیب‌های گازی دیگر مانند H_2S یا CH_4 است.

(جدول ۵). دمای ذوب نخستین یخ یا دمای یوتکتیک (T_{fm}) برای این نوع سیال‌های درگیر از $-52/6$ - $-53/6$ درجه سانتیگراد متغیر است. این مقادیر دمایی، با حضور نمک‌های $H_2O-MgCl_2-CaCl_2$ در ترکیب سیال گرمابی سازنده کانسار داشکسن همخوانی دارد (Van den Kerkhof and Hein, 2001). همچنین، مقدار دمای ذوب نهایی یخ ($T_{m_{ice}}$) در این سیال‌های درگیر از $-12/9$ - $-12/1$ درجه سانتیگراد متغیر است که با شوری از $15/9$ تا $16/8$ درصدوزنی (میانگین: $16/5$) (معادل نمک طعام $NaCl_{eq}$ wt%) معادل



شکل ۹. A، B) تصویرهای میکروسکوپی از سیال‌های درگیر دوفازی (مایع+گاز+جامد)، در میزان بلورهای کوارتز در رگه کوارتز- تورمالین- پیریت کانسار داشکسن.

Figure 9. A, B) Microscopic photographs of two phases of fluid inclusions (liquid+ gas); **C)** Three phases (liquid+ gas+ solid) in the host of quartz crystals in the quartz-tourmaline-pyrite vein of the Dashkasan deposit.

جدول ۵. داده‌های ریزسنجی سیال‌های درگیر اولیه در کانی کوارتز از رگه‌های کوارتز- تورمالین- پیریت کانسار داشکسن.

Table 5. Microthermometric results of primary fluid inclusions in quartz mineral of quartz- tourmaline- pyrite veins from the Dashkasan deposit.

F.I type	$T_{m_{ice}}(^{\circ}C)$	$T_e (^{\circ}C)$	$T_h (^{\circ}C)$	Salinity (wt.% NaCl eq.)	Density (g/cm ³)
L+V	- 12.3	- 53.6	238	16.24	0.95
L+V	- 12.4	- 52.7	225	16.33	0.96
L+V	- 12.1	- 52.9	242	16.05	0.95
L+V	- 12.7	- 53.4	250	16.61	0.94
L+V	- 12.5	- 53.0	218	16.42	0.97
L+V	- 12.4	- 53.6	226	16.33	0.96
L+V	- 12.0	- 53.5	230	15.95	0.95
L+V	- 12.5	- 53.4	225	16.42	0.96
L+V	- 12.8	- 53.3	218	16.40	0.97
L+V	- 12.9	- 53.4	189	16.79	1.00
L+V	- 12.8	- 52.9	208	16.70	0.98
L+V	- 12.7	- 52.6	230	16.61	0.96
L+V	- 12.6	- 53.1	221	16.51	0.97
L+V	- 12.2	- 53.0	224	16.14	0.96
L+V	- 12.0	- 53.4	235	15.95	0.95

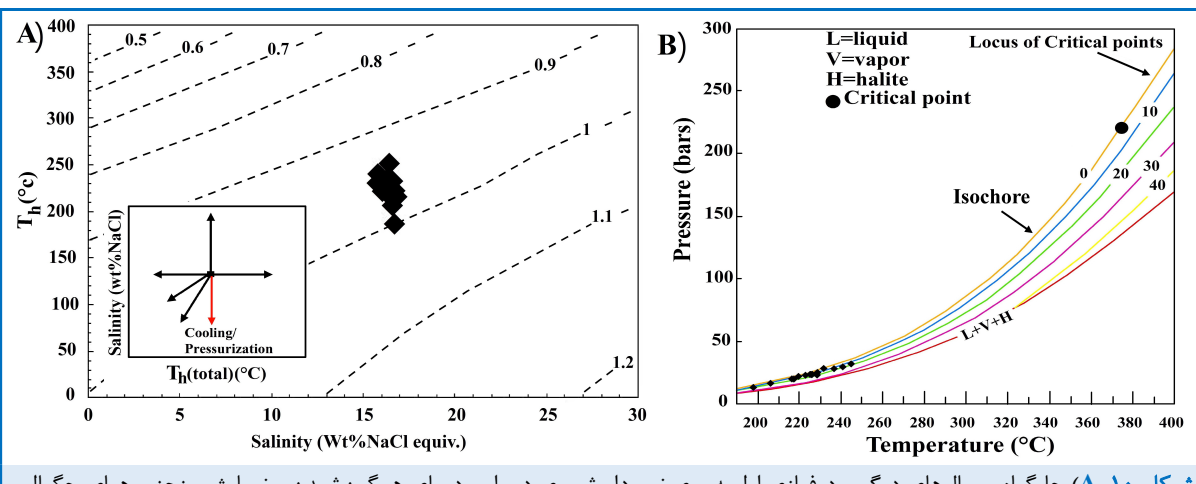
است (White and Hedenquist, 1995; Hedenquist et al., 2000). اگر در سیال‌های درگیر جوشش رخ داده باشد نیازی به تصحیح فشار نیست و دمای همگن شدن با دمای پیدایش کانسار برابر است (Roedder and Bodnar, 1980) همراه بودن برش داسیتی با واحد داسیت پورفیری چه‌بسانشان دهنده پیدایش برش گرمایی در ژرفای کم است. در کانسار طلای داشکسن وجود حجم بزرگی از کانسنسنگ برشی گرمایی و همچنین همزادی سیال‌های درگیر غنی از بخار و غنی از مایع، از شواهد مهم رخداد جوشش هستند که برای اثبات آنها به شمار نقاط اندازه‌گیری بیشتری نیاز است. در این پژوهش، نمودار پیشنهادی بودنار (Bodnar, 1983) برای سنجش فشار برپایه مقادیر شوری و دمای همگن شدن نهایی به کار برده شد.

برپایه نمودار دمای همگن شدن (برپایه $^{\circ}\text{C}$) دربرابر فشار (برپایه بار) و تصویر کردن مقادیر سیال‌های درگیر روی آن، سیال کانه‌ساز از ۲۰ تا ۴۵ بار (معادل ژرفای کمتر از ۱ کیلومتر) پدید آمده است که این ویژگی با شرایط پیدایش کانسارهای اپی‌ترمال طلا‌سازگار است (شکل B-10).

پ- تعیین چگالی و تخمین شرایط فشار سیال

چگالی سیال‌های دوفازی موجود در کوارتز با برنامه فلینکور^۸ و همچنین، با به‌کارگیری نمودار شوری دربرابر دمای همگن شدن (Bodnar, 1983) بدست آورده شد (شکل A-10). چگالی بدست آورده شده در سیال‌های درگیر از ۰/۹۴ تا ۱ گرم بر سانتی‌متر مکعب، در تغییر است. به طور کلی، میانگین چگالی در سیال‌های درگیر برابر با 0.97 g/cm^3 به‌دست آمد. کاهش دمای همگن شدن سیال‌های درگیر همزمان با ثابت‌ماندن مقدار شوری یک روند خطی نشان می‌دهد (شکل A-10). پدیده افزایش چگالی با کاهش دما تحت تأثیر پدیده جوشش سیالی با چگالی بیشتر را پدید می‌آورد. در نمودار دما دربرابر شوری سیال‌های درگیر (Shepherd et al., 1985)، روند خطی به‌سوی کاهش دما چه‌بسا به سردشدن سیال با شوری ثابت در بازه زمانی کوتاه اشاره می‌کند (شکل A-10). هم‌بستی سیال‌های درگیر غنی از فاز مایع و غنی از گاز، حضور کلسیدونی، کوارتز ریز بلور، کلسیت تیغه‌ای، بافت کلوفرم و برشی شدن از نشانه‌های رخداد فرایند جوشش در سیال‌های درگیر

⁸ Flincor



شکل A-10 (A) جایگاه سیال‌های درگیر دوفازی اولیه روی نمودار شوری دربرابر دمای همگن شدن و نمایش منحنی‌های چگالی (برپایه گرم بر سانتی‌متر مکعب) در آن (Wilkinson, 2001); (B) نمودار دوتایی فشار- دما (Bodnar, 1983) و جایگاه میانبارهای سیال کانسار داشکسن در منحنی‌های هم فشار (ایزوبار) کمتر از ۵۰ بار.

Figure 10. A) Situation of the primary fluid inclusions (two phases) in the diagram of salinity versus homogenization temperature and presentation density curves (based on gr/cm^3) in it (Wilkinson, 2001); **B)** Binary diagram of temperature- pressure (Bodnar, 1983) and position of fluid inclusions in the Dashkasan deposit in the isobar curves lower than 50 bar.

گرادیان ۱۰ مگاپاسکال در کیلومتر) شود (Driesner and Heinrich, 2007) در این شرایط بسیاری از سنگ‌های میزبان آتشفسانی در پی این کاهش ناگهانی فشار شکسته می‌شوند و به صورت قطعات برشی زاویه‌دار مت Shank از داسیت و ریوداسیت در یک سیمان غنی از تورمالین، پیریت، کوارتز و کانی‌های سولفیدی دیگر، جای می‌گیرند. با توجه به این پدیده، رخداد فرایند فیزیکوشیمیابی فشارزدایی ناگهانی و رخداد کاهنگی در محیط برشی شکنا، دور از انتظار نیست (Moradi et al., 2019). همچنین، برایانه بررسی‌های بارنز (Barnes, 1997)، به دنبال عملکرد سیال گرمابی و تبادلات سیال-سنگ در تعادل با سنگ‌های آتشفسانی میزبان، مجموعه واکنش‌های شیمیابی زنجیره‌ای مانند آبکافت (افزوده شدن یون H^+) و آبپوشی (ترکیب با H_2O) در دما و شوری‌های متوسط تا کم رخ می‌دهند. این فرایند باعث دگرسانی کانی‌های اولیه سنگ آذرين مانند پاتاسیم‌فلدسبار می‌شود و در پی آن، بخش بزرگی از کانی‌های رسی مانند کائولینیت پدید می‌آیند و مقادیر بالای کاتیون‌های فلزی در محیط آزاد می‌شوند. به دنبال آن، به علت وجود فضاهای شکستگی و مجراهای مناسب، این عنصرها به بخش‌های بالایی کانسار راه می‌یابند و تحت تأثیر فرایندهای فیزیکوشیمیابی تله- خاستگاه (Barnes, 1997)، مانند فشارزدایی و ترکیب با آب‌های جوی کم دما، pH سیستم به طور ناگهانی تغییر می‌کند و فلزات مختلف مانند طلا به تدریج نهشته می‌شوند. فراوانی کربستوبالیت و کوارتز در پهنه سیلیسی کوه آق داغ (در مغزه‌های حفاری)، به سیلیکای اپالی نسبت داده می‌شود که برخورد فعالیت‌های نیمه‌ترف دما بالا با سطح آب دیرینه را نشان می‌دهد (Richards et al., 2006). در منطقه طلای داشکسن گمان می‌رود در مراحل پایانی کاهنگی‌زایی، بخش‌هایی از ذخیره احتمالاً تحت تأثیر آب‌های جوی کم دما بوده است. روند سیال‌های درگیر بررسی شده در نمودار دوتایی شوری- دمای همگن‌شدن در شکل ۱۰- B که بادنار (Bodnar, 1983) پیشنهاد

خاستگاه و تحول سیال کاهنگی

دست کم چهار خاستگاه برای سیال‌های گرمابی کاهنگی در محیط‌های مختلف زمین‌شناسی در نظر گرفته می‌شود:

- ۱) سیال‌های گرمابی خاستگاه‌گرفته از توده‌های آذرین درونی ژرف (Bodnar, 1995)
- ۲) سیال‌های گرمابی خاستگاه‌گرفته از آبهای دریایی (Hanor, 1994)
- ۳) انحلال هالیت و سیال‌های بدام‌افتاده در افق‌های سنگ بستر منطقه (Fontes and Matray, 1993)
- ۴) سیال‌های گرمابی ناشی از آبزایی کانی‌ها هنگام رخداد واکنش‌های دگرگونی (Svensen et al., 1999; Markl et al., 1998)

رخداد فرایندهای اختلاط^۹ و کاهش دما در پی رقیق‌شدگی سطحی سیال^{۱۰}، کاهش ناگهانی فشار^{۱۱} و رخداد جوشش^{۱۲}، شرایط خوبی را برای ناپایداری کمپلکس‌های فلزی به‌ویژه بسیار سولفیدهای طلا و نقره و کلریدهای سرب، مس و اورانیم فراهم می‌کنند. با وجود این، تنشیتی عنصرهای فلزی مختلف به محتوای فلزی و غلظت کمپلکس‌های کلروری و سولفوری در محیط بستگی دارد (Boiron et al., 2010). در نمودار دمایی همگن‌شدن نهایی دربرابر شوری (شکل ۱۰- A) و مقایسه آن با روندهای مختلف تحول سیال (مانند جوشش، اختلاط با آبهای رقیق، فشارزدایی و مانند آن) پیشنهادی ویلکینسون (Wilkinson, 2001) گمان می‌رود رگه‌های کوارتز- تورمالین- پیریت کانسار داشکسن در پی فشارزدایی ناگهانی محیط هنگام ورود سیال به فضای ناپیوسته و کاهش دما با شوری ثابت پدید آمداند (شکل ۱۰). پدیده فشارزدایی هنگامی روی می‌دهد که سیال گرمابی کاهنگی در پی رخداد شکستگی/گسلش ناگهانی یا کاهش وزن طبقات بالای، به یکباره از شرایط لیتواستاتیک (با گرادیان ۲۷ مگاپاسکال در کیلومتر) وارد شرایط هیدرواستاتیک (با

⁹ fluid mixing

¹⁰ surface fluid dilution

¹¹ depressurization

¹² boiling

کانی‌های سیلیکاته سنگ میزبان فراهم آورده می‌شوند و محلول‌های غنی از بور (B) سبب تبلور گستردگی تورمالین می‌شوند. غنی‌بودن تورمالین‌های داشکسن از Mg به خاستگاه آنها از سنگ‌های دگرگونی متاپسماست و متاپلیت‌های فقیر از کلسیم و سنگ‌های کوارتز-تورمالینی و ورود Mg از آنها به ساختار تورمالین نسبت داده می‌شود. سیال‌های سازنده تورمالین‌های قلایی داشکسن، اسیدی و دمای کمی داشته‌اند. بررسی جانشینی‌های کاتیونی نشان می‌دهد تورمالین‌های نوع اول و دوم ویژگی دوگانه دارند و به شرایط ماقمایی-گرمایی نزدیک می‌شوند؛ اما تورمالین‌های نوع سوم به شرایط گرمایی وابسته هستند. این موضوع با محاسبه نسبت $\text{FeO}/(\text{FeO}+\text{MgO})$ نیز تایید می‌شود.

کرده است، این موضوع را تأیید می‌کند.

برداشت

با توجه به توضیحات ارائه شده، شواهد صحرایی و سنگ‌نگاری تورمالین‌های بررسی شده داشکسن سه نوع هستند. ترکیب تورمالین‌های نوع اول و دوم که از سامانه پورفیری برداشت شده‌اند در اویت مایل به شورل است؛ اما تورمالین نوع سوم که از سامانه برش گرمایی گرفته شده‌اند ترکیب دراویت دارند. این تورمالین‌ها در سنگ میزبان داسیت پورفیری و برخی یافت می‌شوند. این بازه کمایش گستردگی تغییرات عنصرهای اصلی به تجزیه کانی‌هایی مانند بیوتیت، پلازیکولاز و آمفیبول نسبت داده می‌شود که در هنگام تبلور تورمالین نسبت آب/سنگ افزایش می‌یابد (Baksheev et al., 2016). همچنین، اجزای مورد نیاز کلسیم، منیزیم و آلومنیم از

جدول ۶ ویژگی‌های تورمالین‌ها در کانسار طلای داشکسن.

Table 6. Characteristics of tourmalines from the Dashkasan gold deposit.

Type	Host- Rock	Alteration	Style	Size (mm)	$\Sigma(\text{Fe}+\text{Mg})$	$\text{FeO}/(\text{FeO}+\text{MgO})$	Related To
Turmaline- 1	dacite	phyllitic	needle	0.1- 0.3	0.6~	0.6~	porphyry
Turmaline- 2	dacite, andesite	silicification	radial	0.2- 0.3	2.82~	0.6~	porphyry
Turmaline- 3	dacite, breccia	phyllitic	bladed	0.2- 0.6	0.3~	0.4~	hydrothermal

بنابراین دو گروه تورمالین نوع اول و دوم شناسایی شده که از دگرسانی‌های فیلیک و سیلیسی پدید آمده‌اند، ارتباط نزدیکتری با فرایندهای ماقمایی دارند. نوع سوم تورمالین که به صورت بافت پرکننده حفره‌ها همراه با رگه‌های کواتز دیده می‌شود، پس از فروکش کردن فعالیت‌های ماقمایی، در پی ورود شاره‌های گرمایی بور دار پدید آمده است در تازه‌ترین پژوهش روی منطقه داشکسن، دلیل این تغییرات مرتبط با یک زمین‌لرزه یا انفجار بزرگ در دیواره دهانه اصلی آتش‌نشان دانسته شده است (Moradi et al., 2019).

سپاس‌گزاری

این پژوهش بخشی از پایان‌نامه کارشناسی ارشد نگارنده نخست است. از آقای دکتر کاظم قلیزاده و خانم دکتر ناهید شبانیان به ترتیب برای همکاری در انجام

بررسی‌ها روی شیمی تورمالین نشان می‌دهند کانه‌زایی تورمالین در کانسار داشکسن تغییراتی از طیف ماقمایی- گرمایی به گرمایی دارد. بررسی سیال‌های درگیر نیز این نکته را تایید می‌کند. وجود کانی هالیت به عنوان فاز جامد چه بسا مشارکت سیالی ماقمایی- گرمایی در پیدایش رگه‌هارا نشان می‌دهد. بررسی ریزدماسنجی نیز نشان می‌دهد رگه‌های کوارتز- تورمالین- پیریت در کانسار داشکسن (دما ۱۸۵ تا ۲۵۴ درجه سانتیگراد و متوسط شوری ۱۶/۵ درصدوزنی نمک طعام) در پی عملکرد فیزیکوشیمیایی سیال کانه‌ساز در شرایط فشارزدایی ناگهانی و احتمالاً اختلاط تدریجی با آبهای جوی کم ژرف پدید آمده‌اند. از این‌رو، یافته‌های این پژوهش با بررسی‌های پیشین (Richards et al., 2006; Alaminia et al., 2018; Moradi et al., 2019) سازگاری دارد.

مجله پترولوژی که با حوصله و توجه فراوان به افزایش کیفیت کار پژوهشی کمک کرده‌اند سپاس‌گزاری می‌شود.

تجزیه‌های کائی‌شناسی و محاسبات نرم‌افزاری سپاس‌گزاری می‌شود. در پایان از داوران و سردبیر محترم

References

- Ahmadi Khalaji, A., Tahmasbi, Z., Zal, F., and Shabani, Z. (2016) The behavior of major and trace elements of the tourmaline from the Mangavai and Ganjnameh pegmatitic rocks (Hamadan area). *Petrological Journal*, 7(27), 1- 24 (in Persian). doi: 10.22108/ijp.2016.21015
- Alaminia, Z., Moradi, M., and Tale Fazel, E. (2018) A review on the Dashkasan gold deposit, epithermal or porphyry? New constraints of EPM and H-O isotopic evidence. 10th symposium of Iranian Society of Economic Geology, Isfahan, Iran.
- Baksheev, I.A., Bryzgalov, I.A., Marushchenko, L.I., Damian, F, Damian, G., and Prokofiev, V.Y. (2016) Chemical composition of phlogopite, tourmaline, and illite from hydrothermal alterations of the Nistru deposit, baia mare, Romania. *Carpathian Journal of Earth and Environmental Sciences*, 11(2), 547- 564.
- Barnes, H.L. (1997) *Geochemistry of hydrothermal ore deposits*. John Wiley & Sons, New York.
- Bodnar, R.J. (1983) A method of calculating fluid inclusion volumes based on vapor bubble diameters and P- V- T- X properties of inclusion fluid. *Economic Geology*, 78(3), 535- 542. doi: 10.2113/gsecongeo.78.3.535
- Bodnar, R.J. (1995) Fluid-inclusion evidence for a magmatic source for metals in porphyry copper deposits. *Mineral*, 23, 139- 152. doi: 10.1016/j.oregeorev.2019.103078
- Boiron, M.C., Cathelineau, M., and Richard, A. (2010) Fluid flows and metal deposition near basement/cover unconformity: lessons and analogies from Pb-Zn-F-Ba systems for the understanding of Proterozoic U deposits. *Geofluids*, 10(1-2), 270-292. doi: 10.1111/j.1468-8123.2010.00289.x
- Burruss, R.C. (1981) Analysis of phase equilibria in C-O-H-S fluid inclusions. *Mineralogical Association of Canada Short Course Handbook*, 209- 239.
- Cavarretta, G., and Puxeddu, M. (1990) Schorl-draelite-ferridraelite tourmalines deposited by hydrothermal magmatic fluids during the early evolution of the Larderello geothermal field, Italy. *Economic Geology*, 85(6), 1236- 1251. doi: 10.2113/gsecongeo.85.6.1236
- Collines, A.C. (2010) Mineralogy and geochemistry of tourmaline in the contrasting hydrothermal system, Copiapo area, Northern Chile. Ph.D. Thesis, University of Arizona, United States.
- Driesner, T., and Heinrich, C.A. (2007) The system H₂O-NaCl. Part I: Correlation formulae for phase relations in temperature-pressure-composition space from 0 to 1000 °C, 0 to 5000 bar, and 0 to 1 XNaCl. *Geochimica et Cosmochimica Acta*, 71(20), 4880-4901. doi: 10.1016/j.gca.2006.01.033
- Dutrow, B.L., and Henry, D.J. (2018) Tourmaline compositions and textures: reflections of the fluid phase. *Journal of Geosciences*, 63(2), 99- 110.
- Esmaily, D., Mohamadi, H., and Haghnaz, M. (2009) Comparison of the chemical composition of tourmaline in tin and tungsten- bearing quartz- tourmaline veins (Shah- Kuh area, east of Iran and Nezamabad area, west of Iran). *Iranian Journal of Crystallography and Mineralogy*, 17, 343- 356 (in Persian).
- Felegari, H. (2014) Study of Alteration Related to Mineralization of Sari Gunay Epithermal Gold

- Reserve in Kurdistan Province Using Aster Satelite Data, Mineralogy and Geochemical Evidence. M.Sc. thesis, Isfahan University of Technology, Isfahan, Iran (in Persian).
- Fontes, J.C., and Matray, J.M. (1993) Geochemistry and origin of formation brines from the Paris Basin. France: 1. Brines, associated with Triassic salts. *Chemical Geology*, 109(1-4), 149-175. doi: 10.1016/0009-2541(93)90068-T
- Franchini, M., Impiccini, A., Lentz, D., Ríos, F. J., O'Leary, S., Pons, J., and Schalamuk, A.I. (2011) Porphyry to epithermal transition in the Agua Rica polymetallic deposit, Catamarca, Argentina: An integrated petrologic analysis of ore and alteration parageneses. *Ore Geology Reviews*, 41(1), 49- 74. doi: 10.1016/j.oregeorev.2011.06.010
- Granian, H., Tabatabaei, S.H., Asadi Haroni, H., and Carranza, E.J.M. (2016) Application of discriminant analysis and support vector machine in mapping gold potential areas for further drilling in the Sari- Gunay gold deposit, NW Iran. *Journal of Mining Engineering. Natural Resources Research*, 25(2), 145- 159. doi: 10.1007/s11053-015-9271-2
- Hanor, J.S. (1994) Origin of saline fluids in sedimentary basins. Geological Society, London, Special Publication, 78(1), 151- 174. doi: 10.1144/GSL.SP.1994.078.01.13
- Hawthorne, F.C., and Henry, D.J. (1999) Classification of the minerals of the tourmaline group. *European Journal of Mineralogy*, 11(2), 201–215. doi: 10.1127/ejm/11/2/0201
- Hedenquist, J.W., Arribas, A.R., and Gonzalez-Urien, E. (2000) Exploration for epithermal gold deposits. *Reviews in Economic Geology*, 13(2), 245–277. doi: 10.5382/Rev.13.07
- Henry, D.J., Dutrow, B.L., and Mineralogist, C. (2011) Incorporation of fluorine in tourmaline: external environmental vs. internal crystallographic influences. *Canadian Mineralogist*, 49, 41- 56. doi: 10.3749/canmin.49.1.41
- Henry, D.J., and Dutrow, B.L. (2001) Compositional zoning and element partitioning in nickeloen tourmaline from a metamorphosed karstbauxite from Samos, Greece. *American Mineralogist* 86(10), 1130- 1142. doi: 10.2138/am-2001-1002
- Henry, D.J., and Dutrow, B.L. (2012) Tourmaline at diagenetic to low-grade metamorphic conditions: Its petrologic applicability. *Lithos*, 154, 16- 32. doi: 10.1016/j.lithos.2012.08.013
- Henry, D.J., and Guidotti, C.V. (1985) Tourmaline as a petrogenetic indicator mineral: an example from the staurolite grade metapelites of NW- Marine. *American Mineralogist*, 70(1- 2) 1- 15.
- Imer, A., Richards, J.P., and Muehlenbachs, K. (2016) Hydrothermal evolution of the Çöpler porphyry-epithermal Au deposit, Erzincan Province, central eastern Turkey. *Economic Geology*, 111(7), 1619- 1658. doi: 10.2113/econgeo.111.7.1619
- Jamshidibadr, M., Moghadasi, J., Ghorbani, M., Sharifi, M., and Salehi, M. (2021) Geochemistry of Dorojen volcanic rocks (SW Ardestan) with the special use of mineral chemistry of propylitic alteration zones. *Petrological Journal*, 12(3), 43- 62 (in Persian). doi: 10.22108/ijp.2022.129274.1236
- Jiang, S.Y., Palmer, M.R., and Yeats, C.J. (2002) Chemical and boron isotopic compositions of tourmaline from the Archean Big Bell and Mount Gibson gold deposits, Murchison Province, Yilgarn craton, Western Australia. *Chemical Geology*, 188(3- 4), 229–247. doi: 10.1016/S0009-2541(02)00107-9
- Karimpour, M.H., and Stern, C.R. (2010) Mineralogical and Chemical Composition of Tourmaline from Najmabad, Gheshlagh, Hired, and Maherabad-Khopik, and their relationship with types of mineralization, Eastern Iran. *Iranian Journal of Crystallography and Mineralogy*, 18, 43-54 (in

- Persian).
- Khan Nazer, N.H., Jalali, A., Saidi, A., Helmi, F., Mohtat, T., Bahreh, M., Zohrab, E., Ghaemi, J., and Haddadan, M. (2015) Kuhin 1:100000 Geological map. Geological Survey and Mineral Exploration of Iran, Tehran.
- Krosse, S. (1995) Hochdrucksynthese, Stabilität und Eigenschaften der Borsilikate Dravit und Kornerupin sowie Darstellung und Stabilitätsverhalten eines neuen Mg-Al-Borats. Ph.D. thesis, Ruhr- University Bochum, Bochum, Germany.
- London, D., and Manning, D.A.C. (1995) Chemical Variation and Significance of tourmaline from southwest England. *Economic Geology*, 90(3), 495- 519. doi: 10.2113/gsecongeo.90.3.495
- Maanijou, M., Aliani, F., Miri, M., and Lentz, D.R. (2013) Geochemistry and petrology of igneous assemblage in the south of Qorveh area, west Iran. *Geochemistry*, 73(2), 181- 196. doi: 10.1016/j.chemer.2013.04.001
- Maanijou, M., poiandeh, N., sephahi, A.A., and Dadfar, S. (2014) Mapping of alteration zones of Dashkasan epithermal gold mine (Sari Gunay). *Geosciences Scientific Quarterly Journal*, 24(95), 95- 104 (in Persian).
- Manning, D.A.C. (1982) Chemical and morphological variation in tourmalines from the Hub Kapong batholith of Peninsular Thailand. *Mineralogical Magazine*, 45(337), 139- 147. doi: 10.1180/minmag.1982.045.337.16
- Mansouri Esfahani M., and Khalili, M. (2014) Mineralogy and mineral - chemistry of tourmaline and garnet from Molataleb village granitoid (North of Aligudarz) NW of Isfahan. *Iranian Journal of Crystallography and Mineralogy*, 22(1), 139- 148 (in Persian).
- Mansouri Esfahani, M., and Bakhshi, M. (2018) Geochemistry and source of tourmaline from the Soheyle- Pakuh granitoid body (North of Nain). *Petrological Journal*, 9(2), 123- 138 (in Persian). doi: 10.22108/ijp.2017.104442.1032
- Mao, J., Zhang, J., Pirajno, F., Ishiyama, D., Su, H., Guo, C., and Chen, Y. (2011) Porphyry Cu–Au–Mo–epithermal Ag–Pb–Zn–distal hydrothermal Au deposits in the Dexing area, Jiangxi Province, East China-a linked ore system. *Ore Geology Reviews*, 43(1), 203- 216. doi: 10.1016/j.oregeorev.2011.08.005
- Markl, G., Ferry, J., and Bucher, E.K. (1988) Formation of saline brines and salt in the lower crust by hydration reactions in partially retrogressed granulites from the Lofoten Islands. Norway. *American Journal of Science*, 298(9), 705–757. doi: 10.2475/ajs.298.9.705
- Maydagán, L., Franchini, M., Lentz, D., Pons, J., and McFarlane, C. (2013) Sulfide composition and isotopic signature of the Altar Cu- Au deposit, Argentina: Constraints on the evolution of the porphyry- epithermal system. *The Canadian Mineralogist*, 51(6), 813- 840. doi: 10.3749/canmin.51.6.813
- Medaris, L.G., Fournelle, J.H., and Henry, D.J. (2003) Tourmaline-bearing quartz veins in the Baraboo Quartzite, Wisconsin: Occurrence and significance of foitite and “oxy-foitite”. *Canadian Mineralogist*, 41, 749–758. doi: 10.2113/gscanmin.41.3.749
- Mirsepahvand F., Tahmasebi Z., Shahrokhi S. V., AhmadiKhalaji A., and Khalili M. (2012) Geochemistry and source determination of tourmalines in Boroujerd area. *Iranian Journal of Crystallography and Mineralogy*, 20(2), 281-292 (in Persian).
- Moazzen, M., Michaeli, R., Ahangari, M., and Altenberger, U. (2017) Characterizing tourmaline in metapelitic schists from the Gasht Area, North Iran, and boron source in metamorphic fluids.

- Journal of Sciences, Islamic Republic of Iran, 28(3), 243- 253 (in Persian).
- Moradi, M. (2018) Investigation of mineralogy and geochemical distribution of gold in sulfide and oxide orebodies of the Dashkasan deposit (east of Qorveh). M.Sc. thesis, Isfahan University. Isfahan, Iran (in Persian).
- Moradi, M., Alaminia, Z., Tale Fazel, E., and Alipoor, R. (2019) Ore-forming fluid source and effective parameters in the gold deposition at the Dashkasan deposit (NE Qorveh): structure, microthermometry, and O-H stable isotopic evidence. Iranian Journal of Geology, 52, 19- 38 (in Persian). <http://geology.saminatech.ir/en/Article/9736>
- Mohajjel, M., Fergusson, C.L., and Sahandi, M.R. (2003) Cretaceous-Tertiary convergence and continental collision, Sanandaj- Sirjan zone, western Iran. Journal of Asian Earth Sciences, 21(4), 397- 412. doi: 10.1016/S1367-9120(02)00035-4
- Ota, T., Kobayashi, K., Katsura, T., and Nakamura, E. (2008) Tourmaline breakdown in a pelitic system: implications for boron cycling through subduction zones. Contributions to Mineralogy and Petrology, 155(1), 19- 32. doi: 10.1007/s00410-007-0228-2
- Pirajno, F., and Smithies, R.H. (1992) The FeO/(FeO + MgO) ratio of tourmaline: a useful indicator of spatial variations in granite-related hydrothermal mineral deposits. Journal of Geochemical Exploration, 42(2-3), 371-381. doi: 10.1016/0375-6742(92)90033-5
- Raith, J.G., Riemer, N., and Meisel, T. (2004) Boron metasomatism and behavior of rare earth elements during formation of tourmaline rocks in the eastern Arunta Inlier, central Australia. Contributions to Mineralogy and Petrology, 147(1), 91- 109. doi: 10.1007/s00410-003-0548-9
- Rasekh, P., Mirmohammadi, M., and Mansouri Esfahani, M. (2016) Origin and Chemical Characteristics of Tourmaline in Kahang Porphyry Copper Deposit, NE Isfahan, Central Province of Iran. Symposium of Crystallography and Mineralogy of Iran, 22- 24 (in Persian).
- Rastad, E., Niromand, S. A., Emami, M. H., and Rashid Nejad Omran, N. A. (2000) Origin Antimony, Arsenic and Gold Deposits in Dashkasan Volcanoplutonic Complex (East Qorveh, Kurdistan Province). Geosciences Scientific Quarterly Journal, 2(23), 37- 38 (in Persian).
- Richards, J.P. (2015) Tectonic, magmatic, and metallogenetic evolution of the Tethyan orogen: From subduction to collision. Ore Geology Reviews, 70, 323- 345. doi: 10.1016/j.oregeorev.2014.11.009
- Richards, J.P., Wilkinson, D., and Ullrich, T. (2006) Geology of the Sari Gunay Epithermal Deposit. Economic Geology, 101(8), 1455- 1496. doi: 10.2113/gsecongeo.101.8.1455
- Roedder, E., and Bodnar, R.J. (1980) Geologic pressure determinations from fluid inclusions studies. Annual Review of Earth and Planetary Sciences, 8(1), 263- 301. doi: 10.1146/annurev.ea.08.050180.001403
- Rosenberg, P.E., and Foit, F.F. (1979) Synthesis and characterization of alkali-free tourmaline. American Mineralogist, 64, 180- 186.
- Shepherd, T.J., Rankin, A. H., and Alderton, D. H. (1985) A practical guide to fluid inclusion studies. Blackie and Son Press, London.
- Sillitoe, R.H. (2010) Porphyry Copper Systems. Economic Geology, 105(1), 3- 41. doi: 10.2113/gsecongeo.105.1.3
- Slack, J.F., and Trumbull, R.B. (2011) Tourmaline as a recorder of ore-forming processes. Elements, 7(5), 321- 326. doi: 10.2113/gselements.7.5.321
- Slack, J.F., Herriman, N., Barnes, R.G., and Plimer, I.R. (1984) Stratiform tourmalines in metamorphic

- terranes and their geologic significance. *Geology*, 12(12), 713- 716. doi: 10.1130/0091-7613(1984)12%3C713:STIMTA%3E2.0.CO;2
- Svensen, H., Jamtveit, B., Yardley, B., Engvik, A.K., Austrheim, H., and Broman, C. (1999) Lead and bromine enrichment in eclogite- facies fluids: extreme fractionation during lower-crustal hydration. *Geology*, 27(5), 467- 470. doi: 10.1130/0091-7613(1999)027%3C0467:LABELIE%3E2.3.CO;2
- Van den Kerkhof, A.M., and Hein, U.F. (2001) Fluid inclusion petrography. *Lithos*, 55(1- 4), 27- 47. doi: 10.1016/S0024-4937(00)00037-2
- van Hinsberg, V.J., Henry, D.J., and Marschall, H.R. (2011b) Tourmaline: An ideal indicator of its host environment. *Canadian Mineralogist*, 49(1), 1- 16. doi: 10.3749/canmin.49.1.1
- Waters, P.J., Cooke, D.R., Gonzales, R.I., and Phillips, D. (2011) Porphyry and epithermal deposits and 40Ar/39Ar geochronology of the Baguio district, Philippines. *Economic Geology*, 106(8), 1335- 1363. doi: 10.2113/econgeo.106.8.1335
- White, N.C., and Hedenquist, J.W. (1995) Epithermal gold deposits: styles, characteristics, and exploration. Published in *SEG Newsletter*, 23, 1- 13. doi: 10.5382/SEGnews.1995-23fea
- Whitney, D., and Evans B. (2010) Abbreviation for names of rock-forming minerals. *American Mineralogist*, 95(1), 185- 187. doi: 10.2138/am.2010.3371
- Wilkinson, J.J. (2001) Fluid inclusions in hydrothermal ore deposits. *Lithos*, 55(1- 4), 229- 272. doi: 10.1016/S0024-4937(00)00047-5
- Yavuz, F., Karakaya, N., Yildirim, D., Karakaya, M., and Kumral, M. (2014) A Windows program for calculation and classification of tourmaline- supergroup. *Computers & Geosciences*, 63, 70- 87. doi: 10.1016/j.cageo.2013.10.012
- Yavuz, F., Fuchs, Y., Karakaya, N., and Karakaya, M. (2008) Chemical composition of tourmaline from the Asarcik Pb- Zn- Cu±U deposit, Sebinkarahisar, Turkey. *Mineralogy and Petrology*, 94, 195- 208. doi: 10.1007/s00710-008-0016-3
- Zall, F., Tahmasbi, Z., Jiang, S.Y., Danyushevsky, L.V., and Harris, C. (2019) Elemental and B- O- H isotopic compositions of tourmaline and associated minerals in biotite- muscovite granite of Mashhad, NE Iran: Constraints on tourmaline genesis and element partitioning. *Lithos*, 324, 803- 820. doi: 10.1016/j.lithos.2018.12.012
- Zarasvandi, A., Tashi, M., Rezaei, M., Saki, A., and Mousivand, F. (2021) Geology and geochemistry of Choran porphyry- epithermal Cu- Au deposit in the Dehej- Sarduveyeh subzone, Urumieh- Dokhtar magmatic arc. *Journal of Economic Geology*, doi: 10.22067/econg.2021.52017.87614 (in Persian).